

Program EVALPLOT  
(Version 2018-1)

by

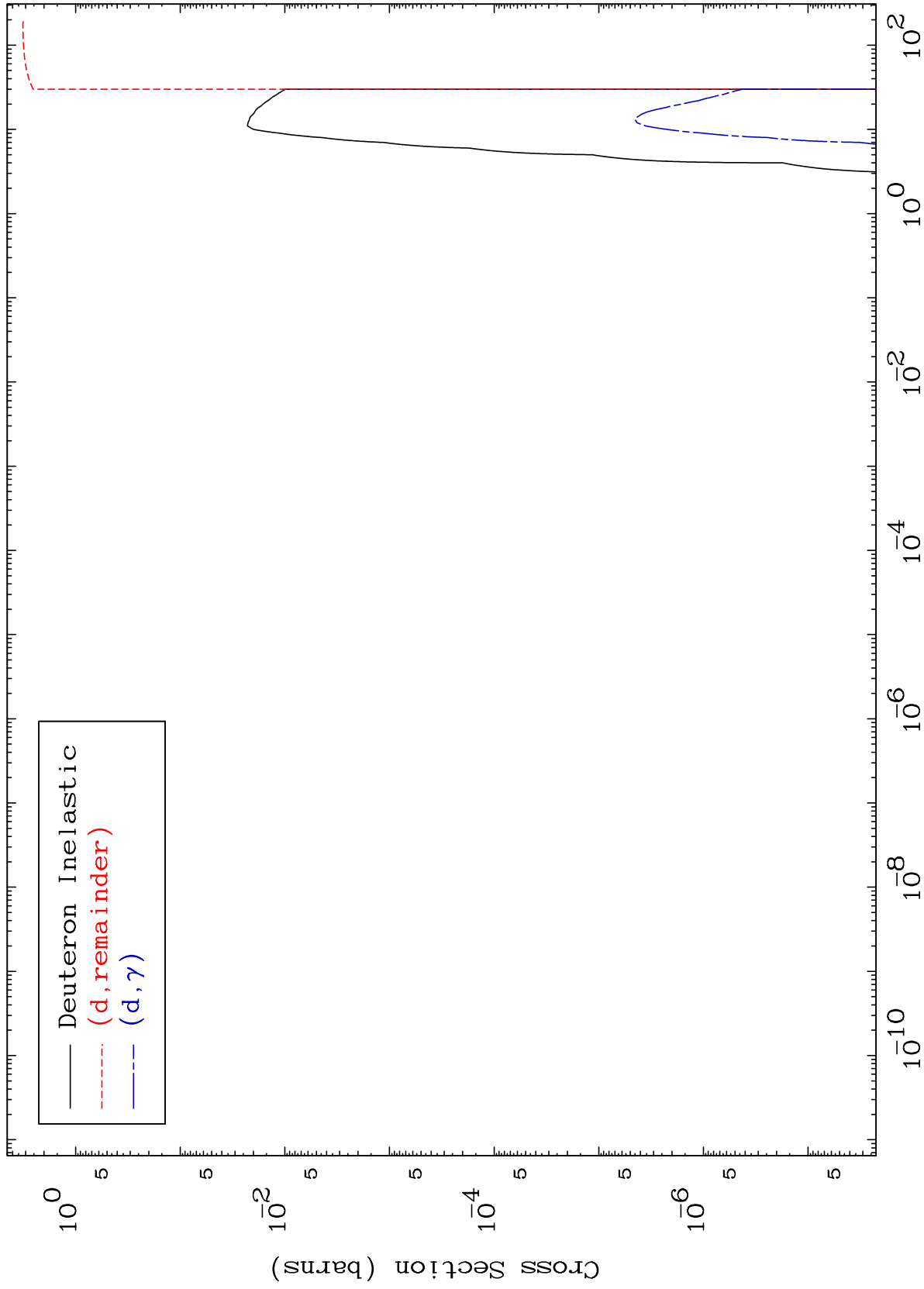
Dermott E. Cullen  
(Present Contact Information)

Dermott E. Cullen  
1466 Hudson Way  
Livermore, CA 94550  
U.S.A.

Tele: 925-443-1911

E.Mail:redcullen1@comcast.net  
Web:redcullen1.net/HOMEPAGE.NEW

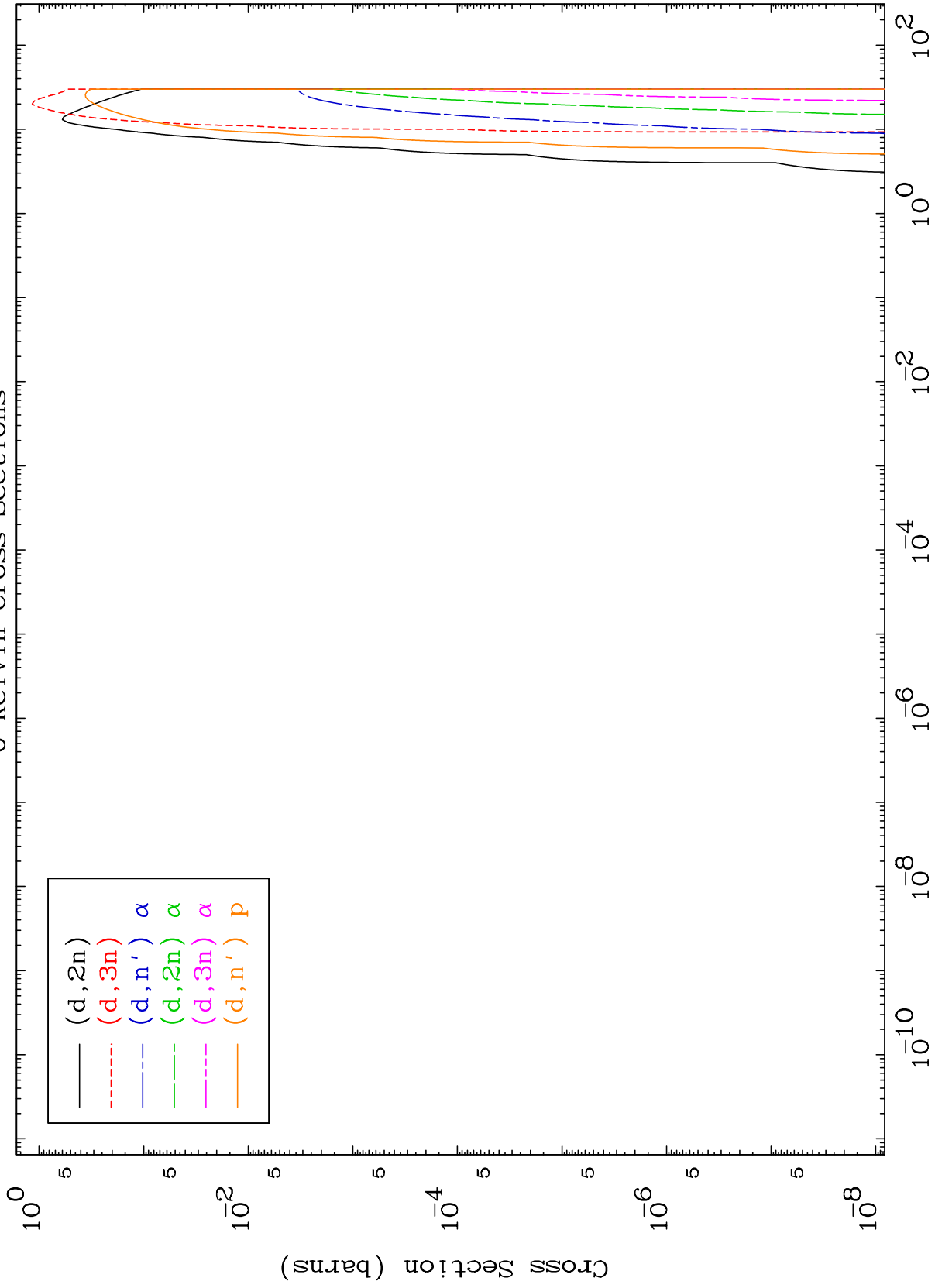
Press Mouse Button to Start



MAT 7931

Deuteron Neutron Production  
0 Kelvin Cross Sections

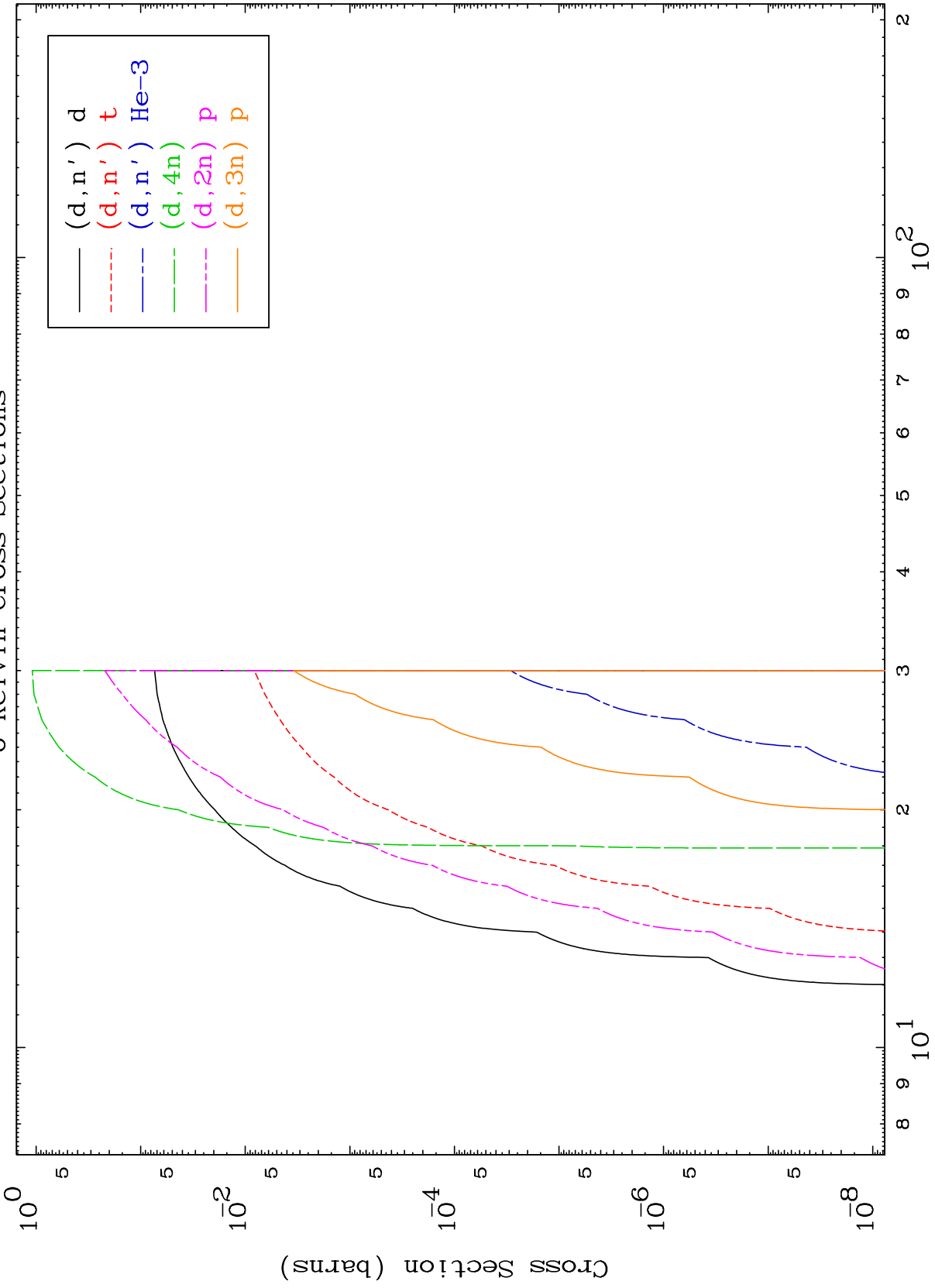
79-Au-199



2

Incident Energy (MeV)

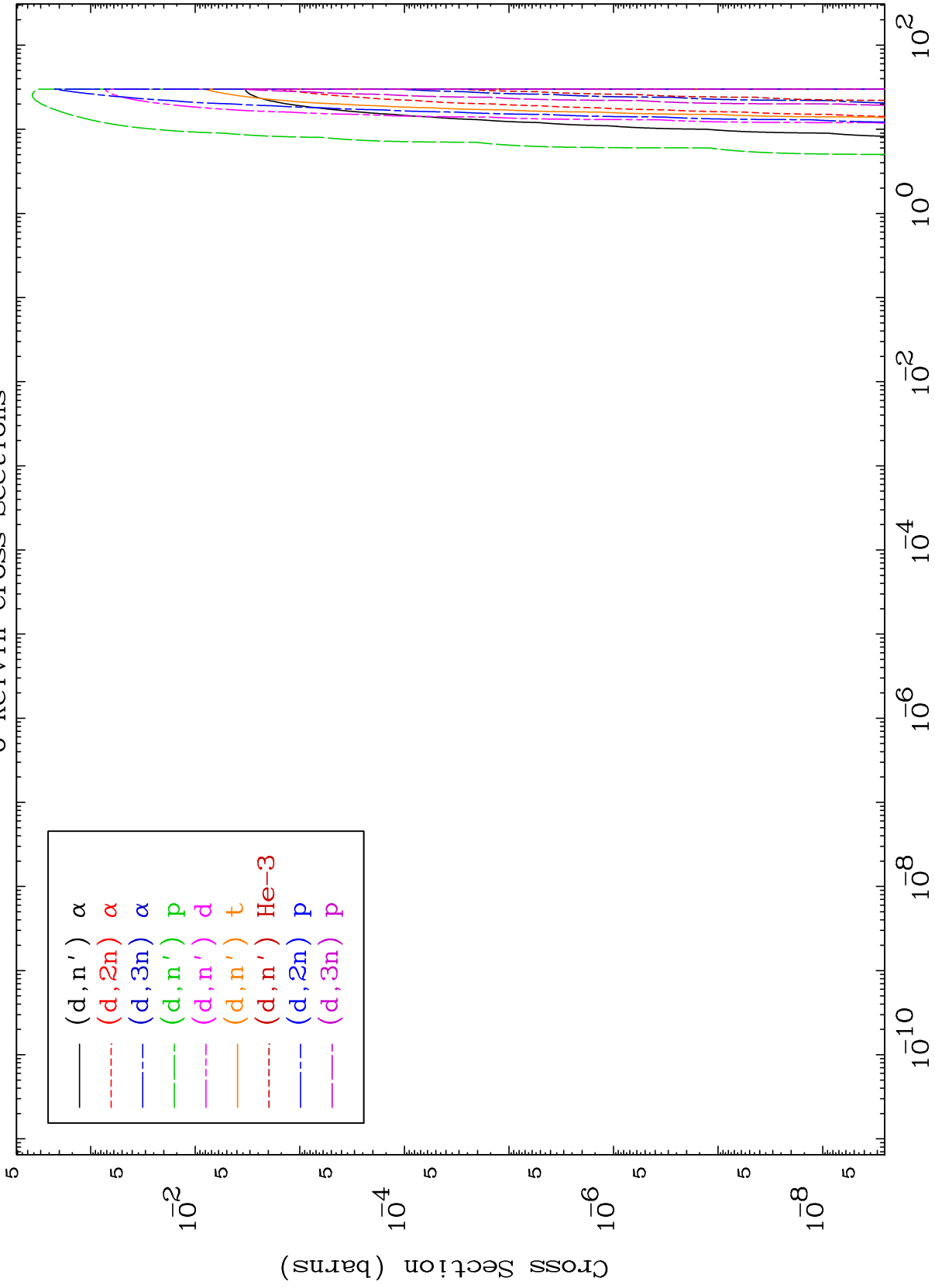
79-Au-199

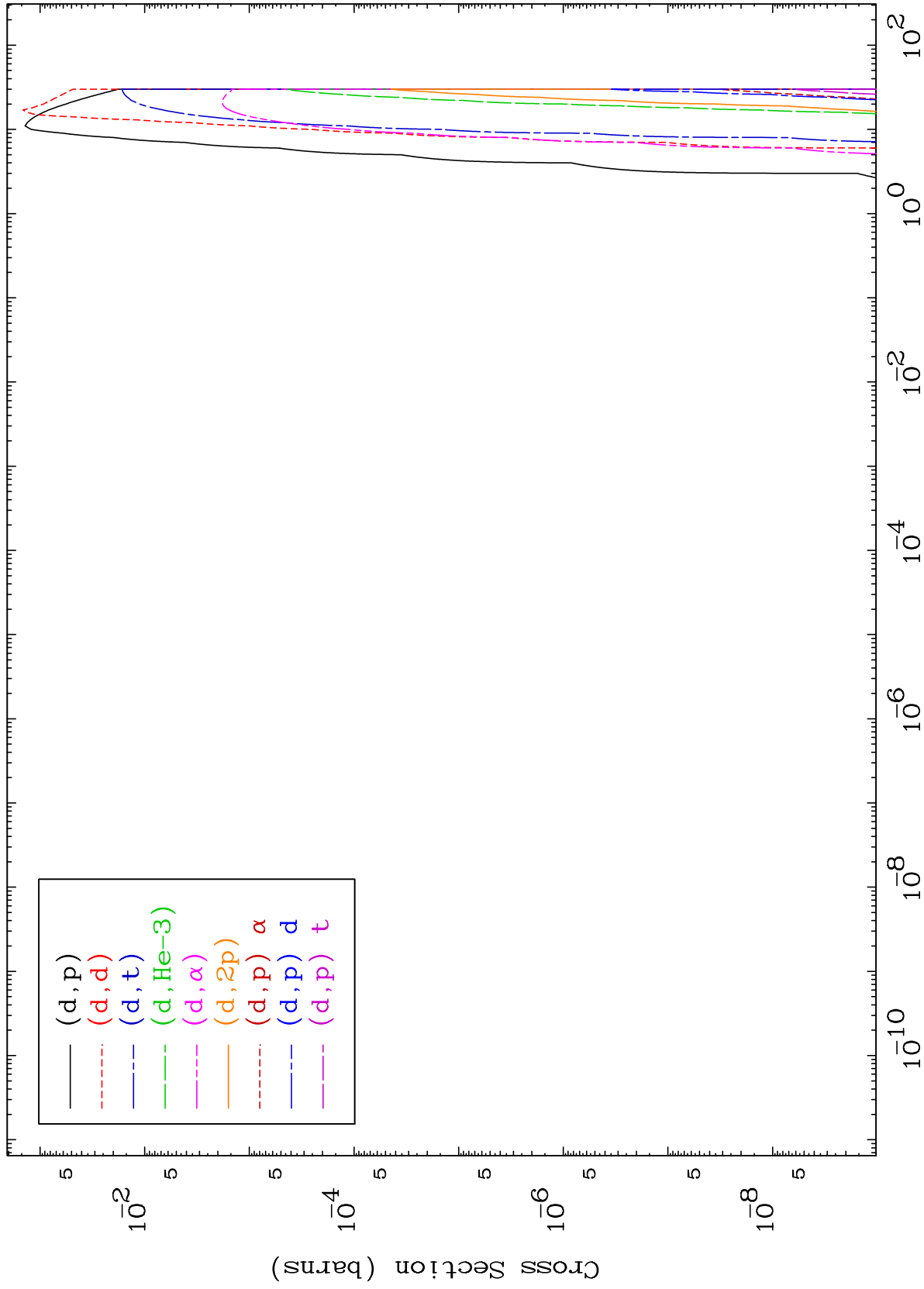


MAT 7931

Deuteron Charged Particle  
0 Kelvin Cross Sections

79-Au-199

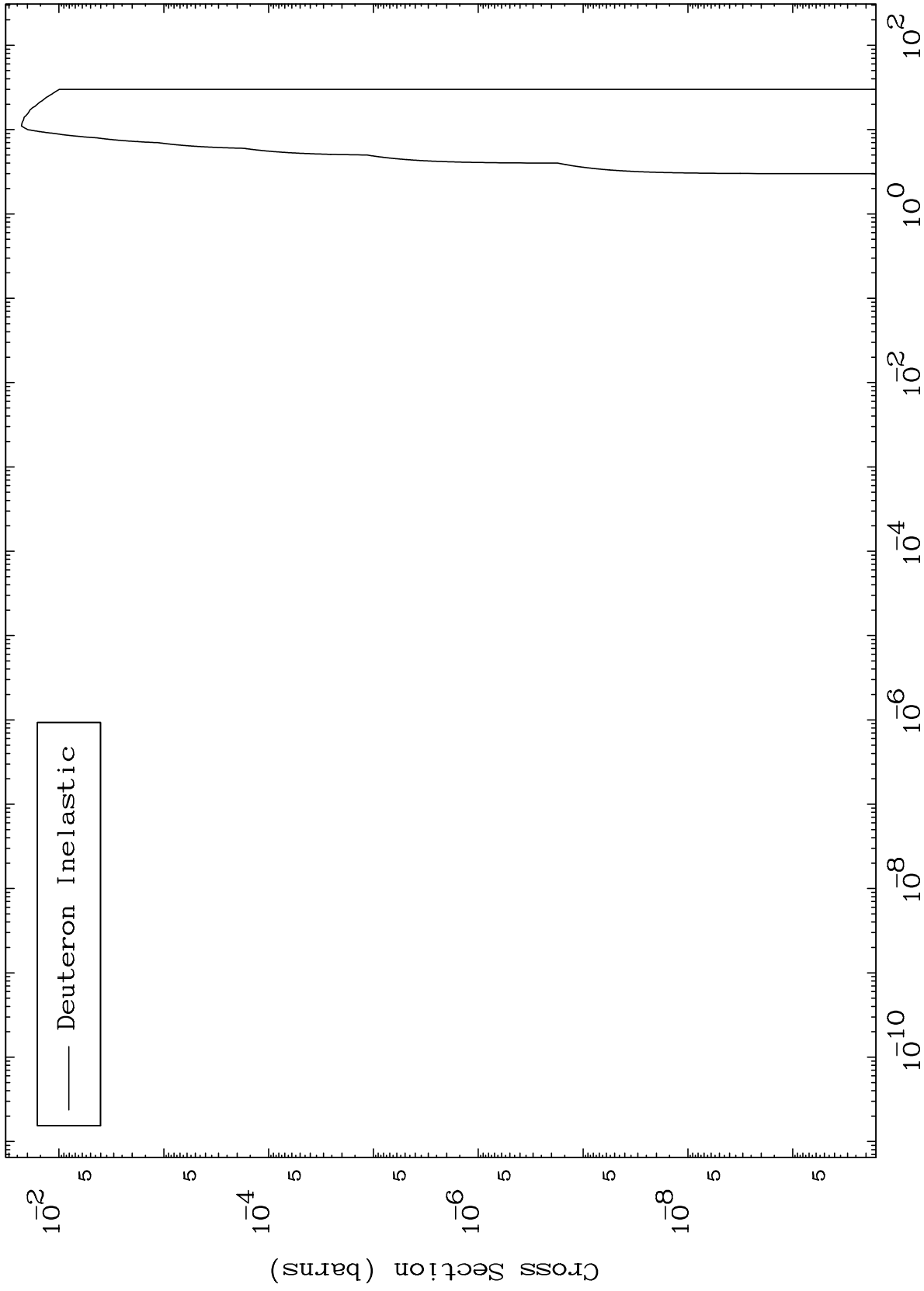




MAT 7931

(d,n') Level  
0 Kelvin Cross Sections

79-Au-199



6

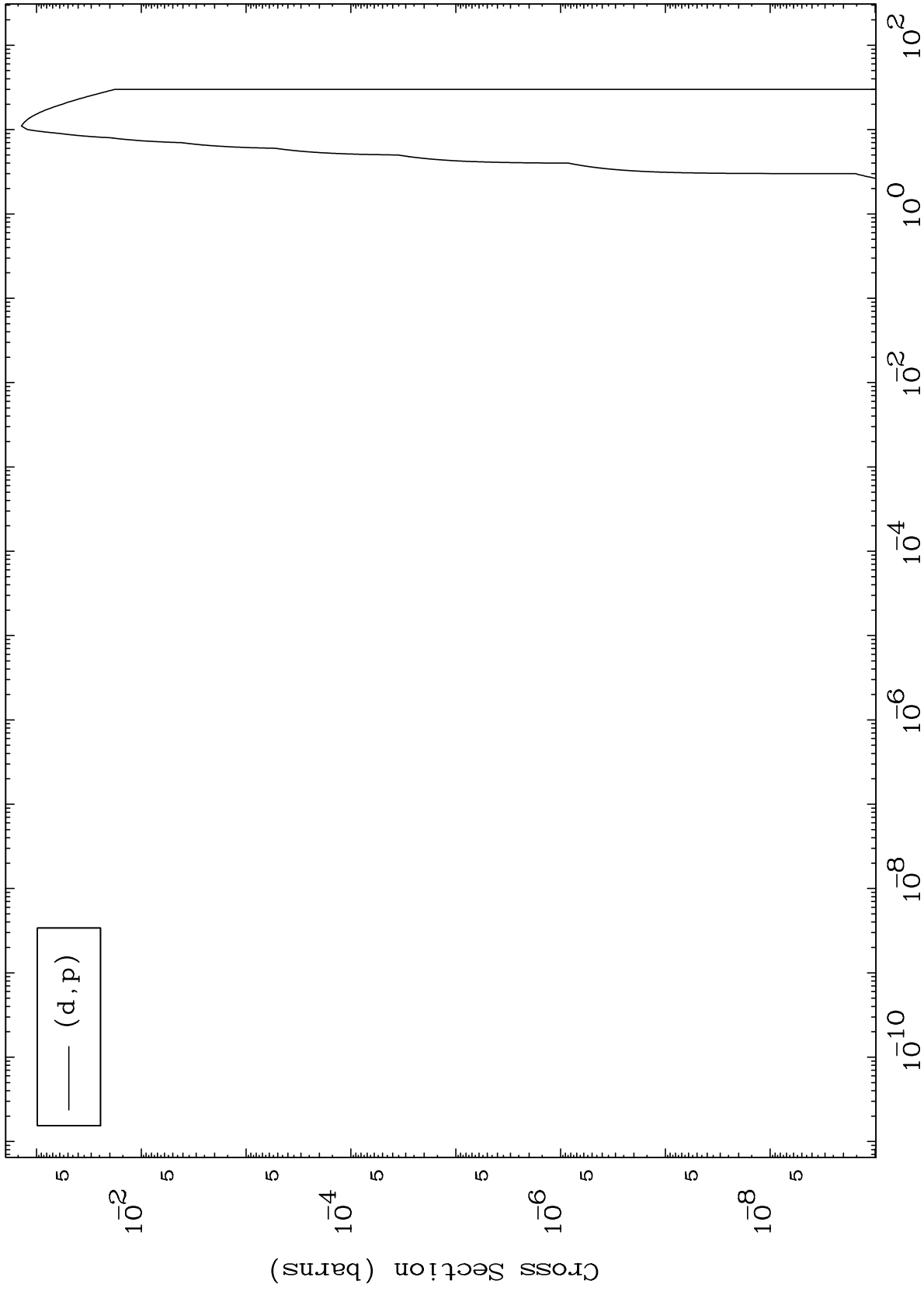
Incident Energy (MeV)

79-Au-199

MAT 7931

(d,p) Levels  
0 Kelvin Cross Sections

79-Au-199



7

Incident Energy (MeV)

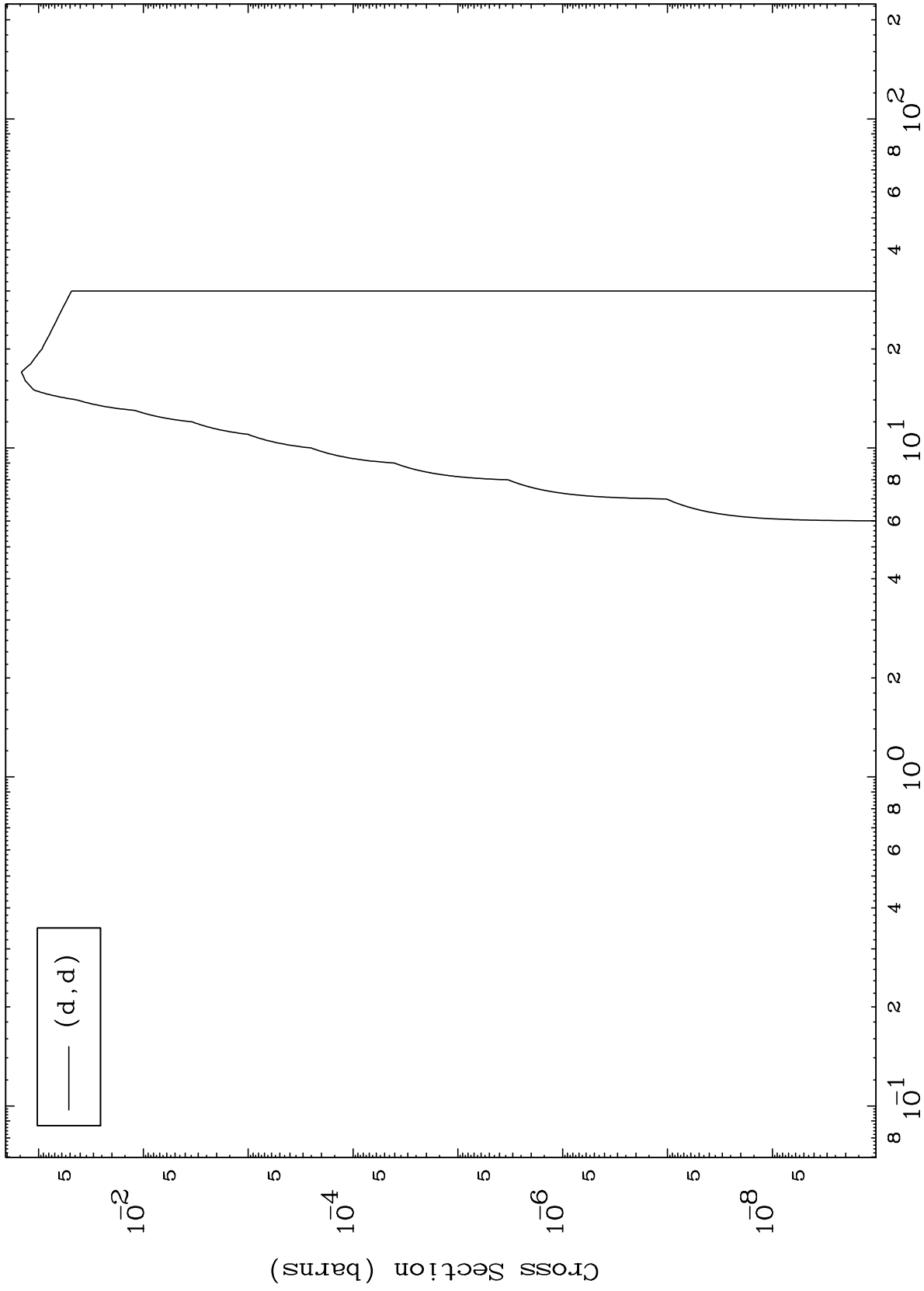
79-Au-199



MAT 7931

(d,d) Levels  
0 Kelvin Cross Sections

79-Au-199



8

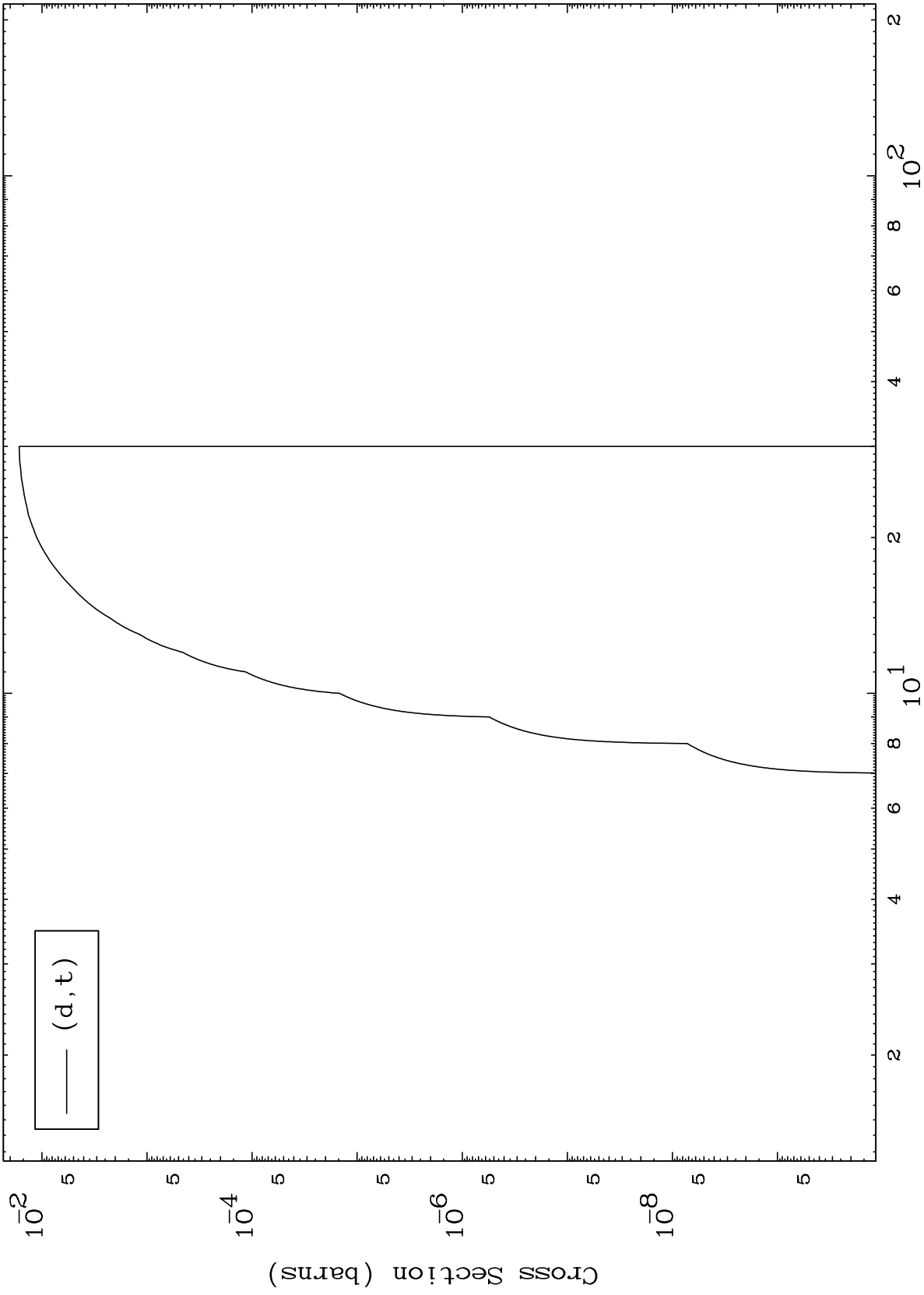
Incident Energy (MeV)

79-Au-199

MAT 7931

(d,t) Levels  
0 Kelvin Cross Sections

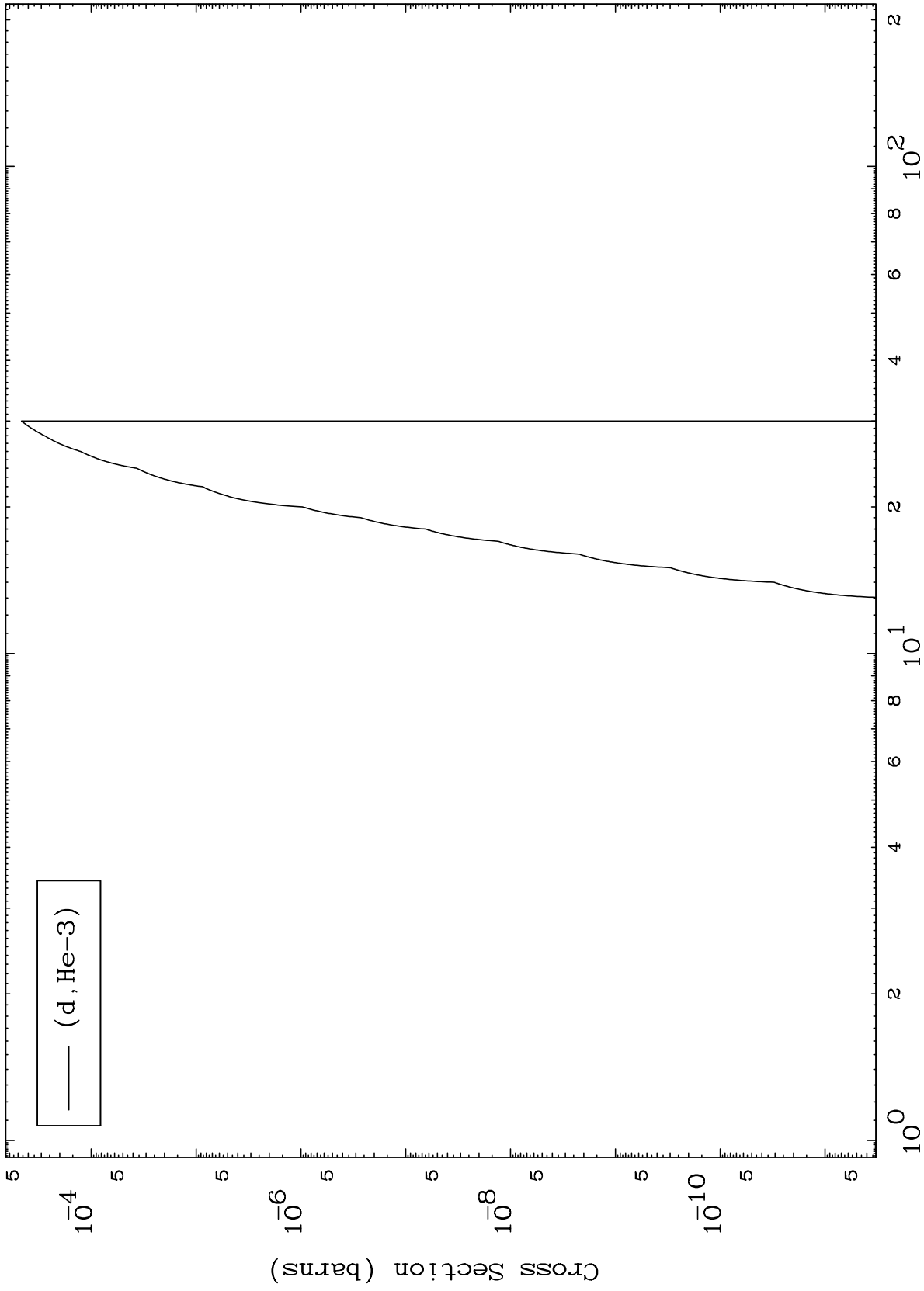
79-Au-199



MAT 7931

(d,He3) Levels  
0 Kelvin Cross Sections

79-Au-199



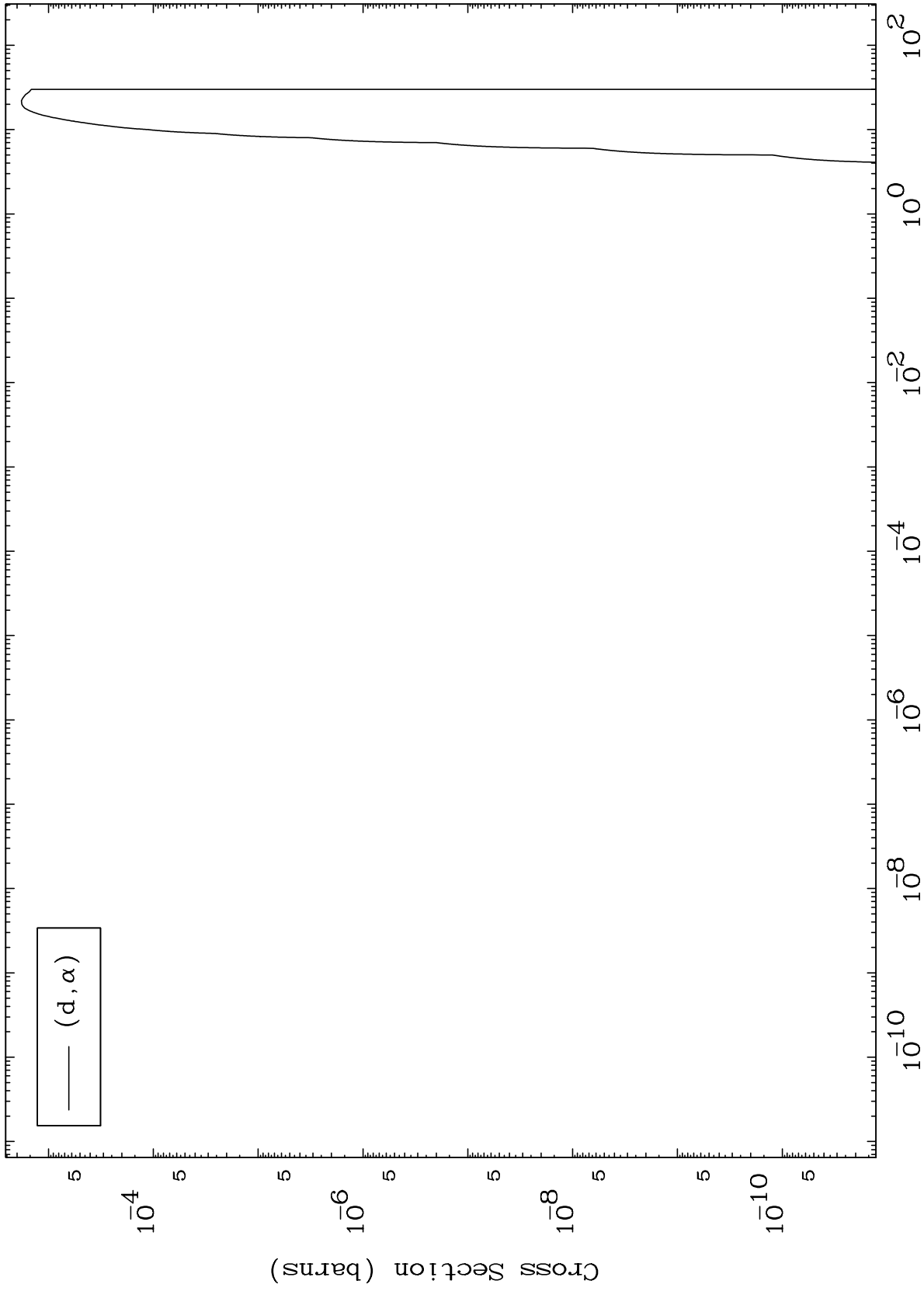
Incident Energy (MeV)

79-Au-199

MAT 7931

(d, $\alpha$ ) Levels  
0 Kelvin Cross Sections

79-Au-199



11

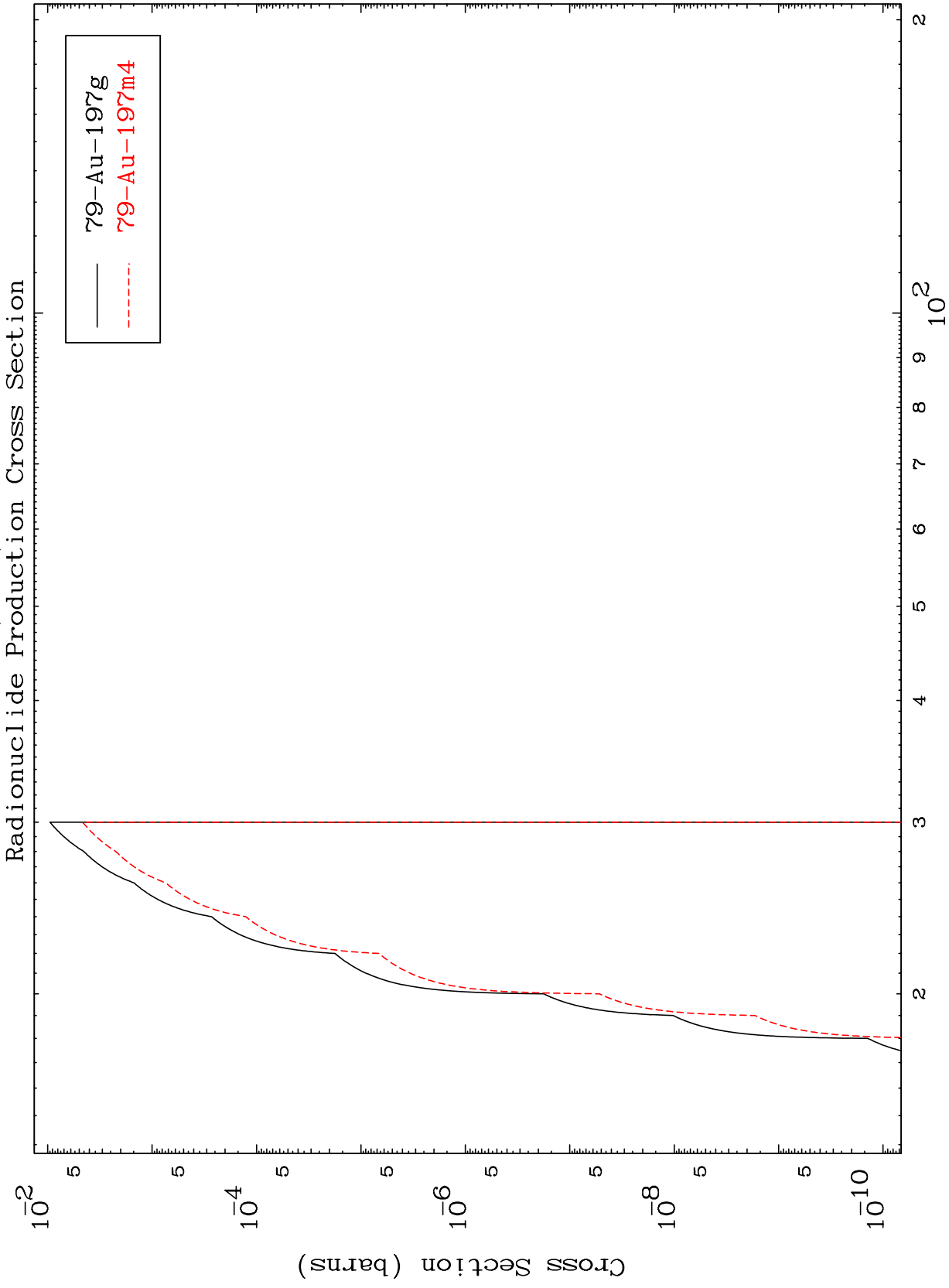
Incident Energy (MeV)

79-Au-199

MAT 7931

(d,2n) d

<sup>79</sup>Au-199



12

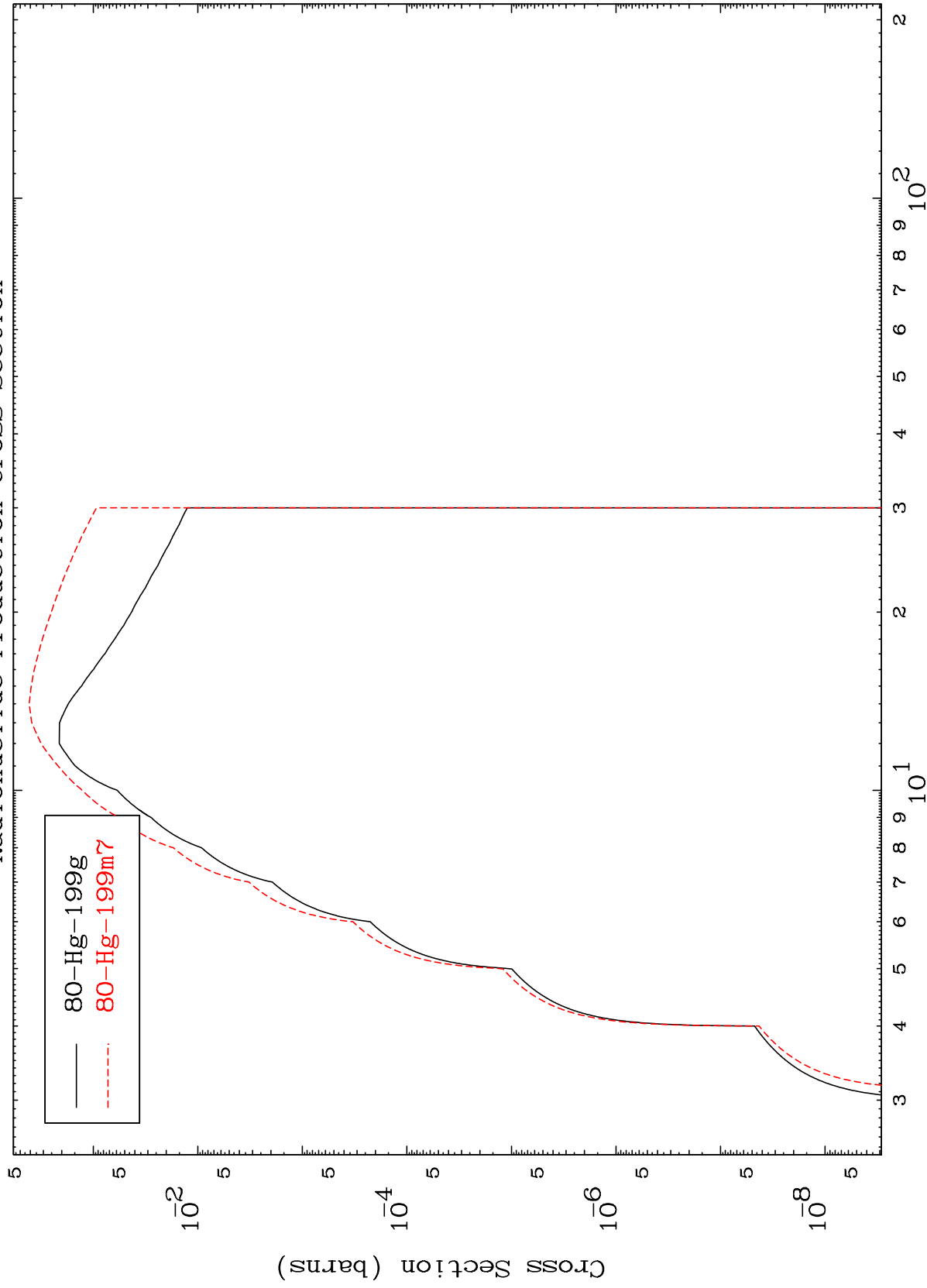
Incident Energy (MeV)

<sup>79</sup>Au-199

MAT 7931

79-Au-199

Radionuclide Production Cross Section  
(d,2n)



13

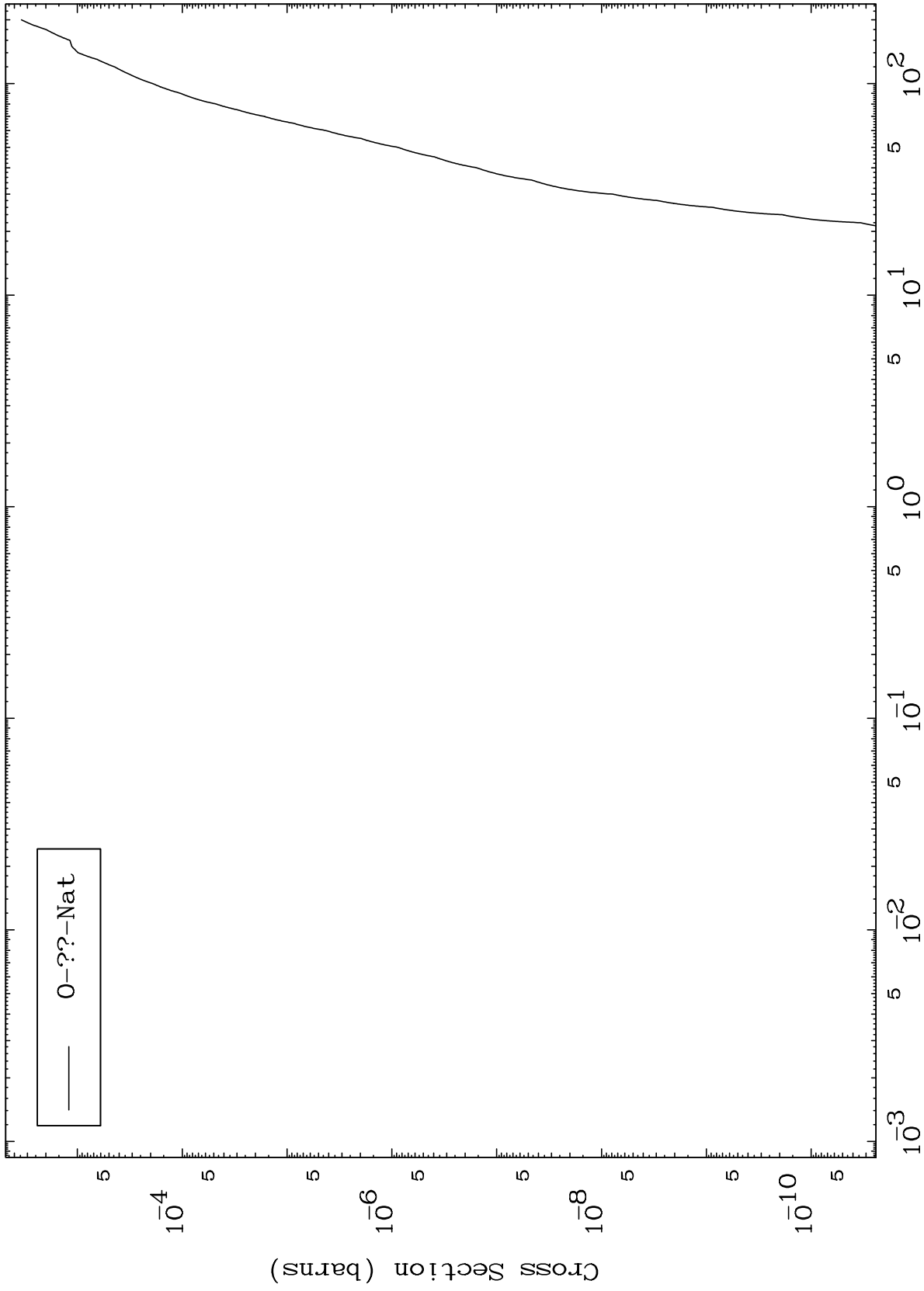
Incident Energy (MeV)

79-Au-199

MAT 7931

Deuteron Fission  
Radionuclide Production Cross Section

79-Au-199



14

Incident Energy (MeV)

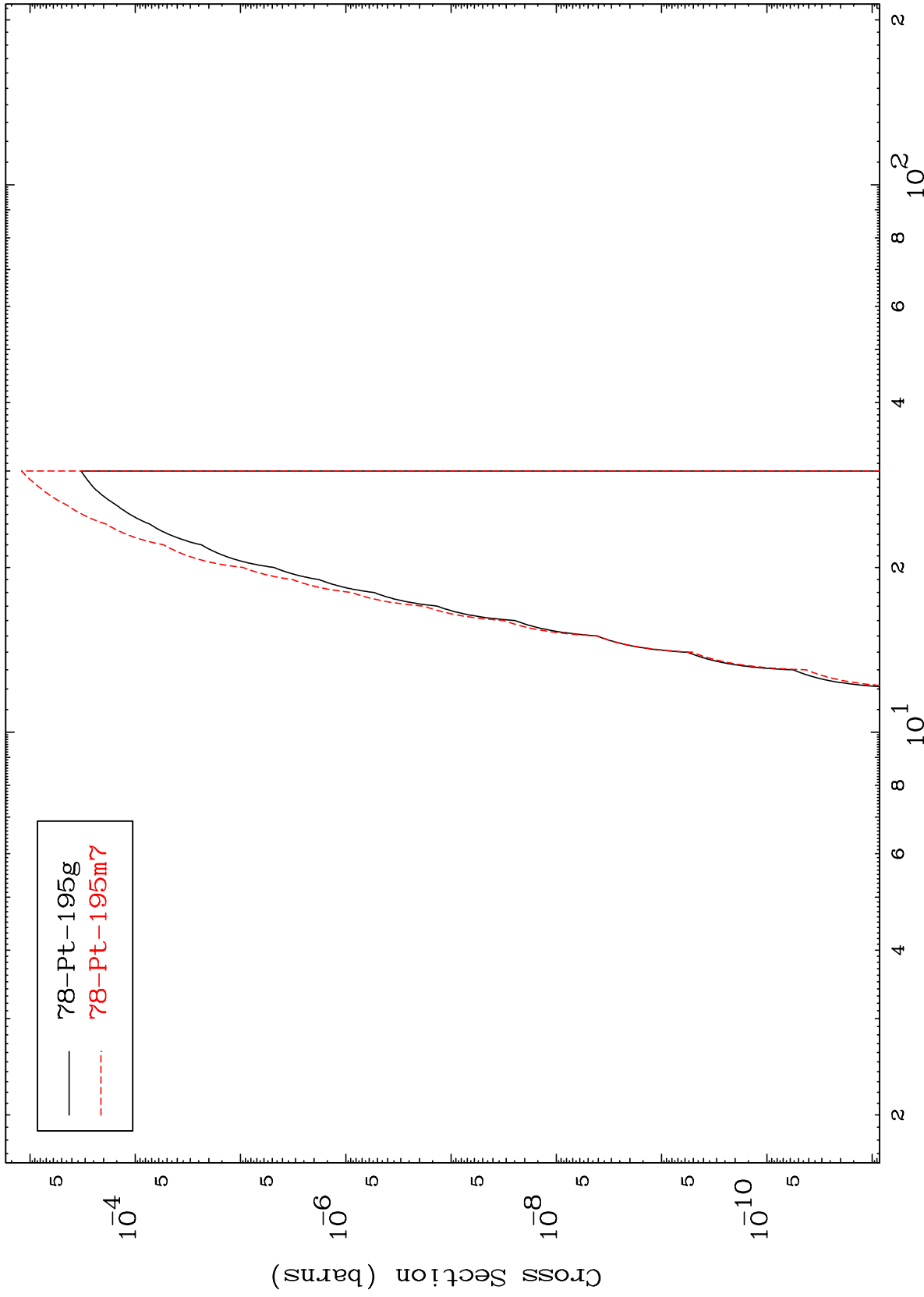
79-Au-199

MAT 7931

(d,2n)  $\alpha$

79-Au-199

Radionuclide Production Cross Section



15

Incident Energy (MeV)

79-Au-199

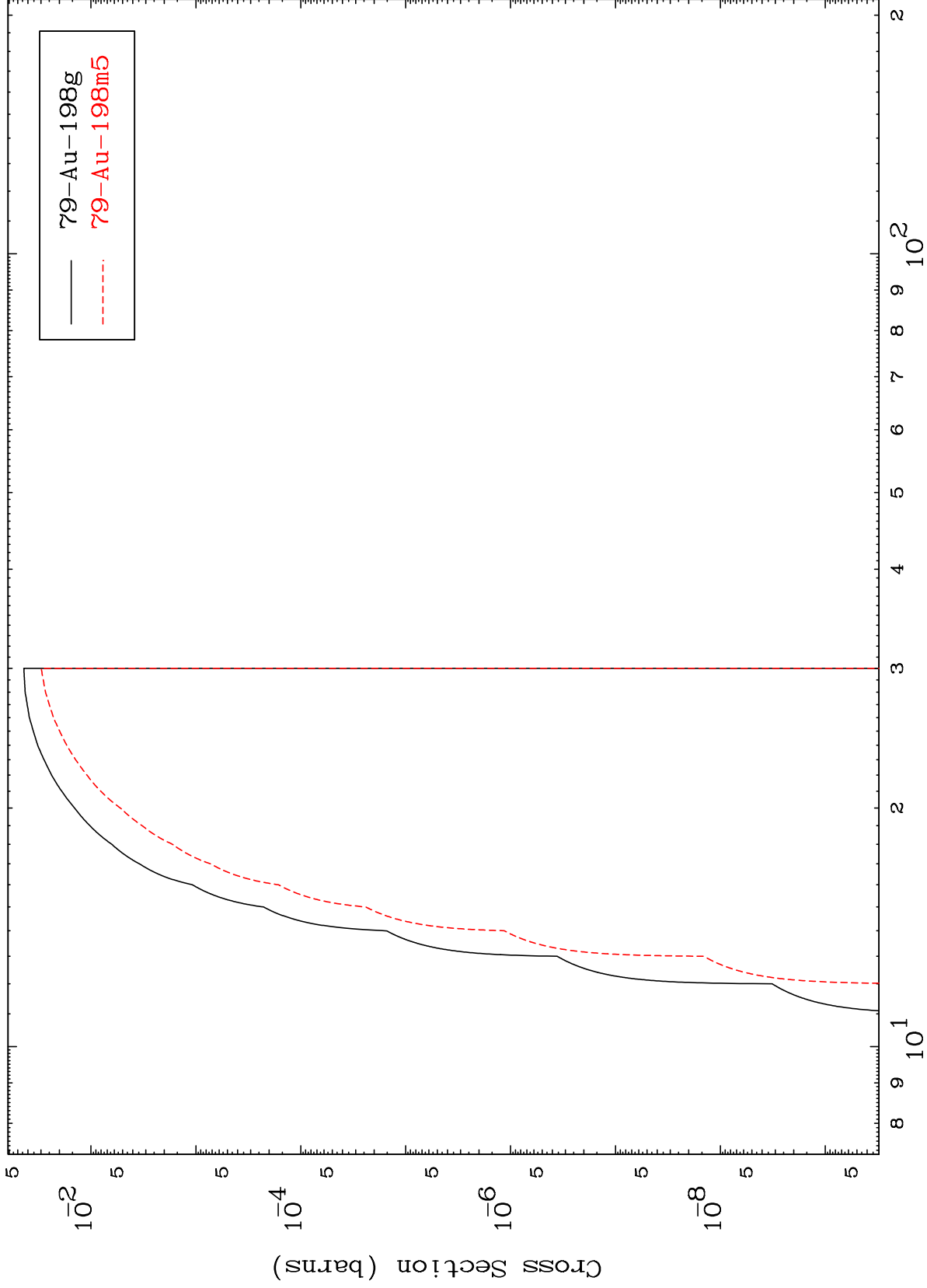


MAT 7931

(d,n') d

79-Au-199

Radionuclide Production Cross Section



16

Incident Energy (MeV)

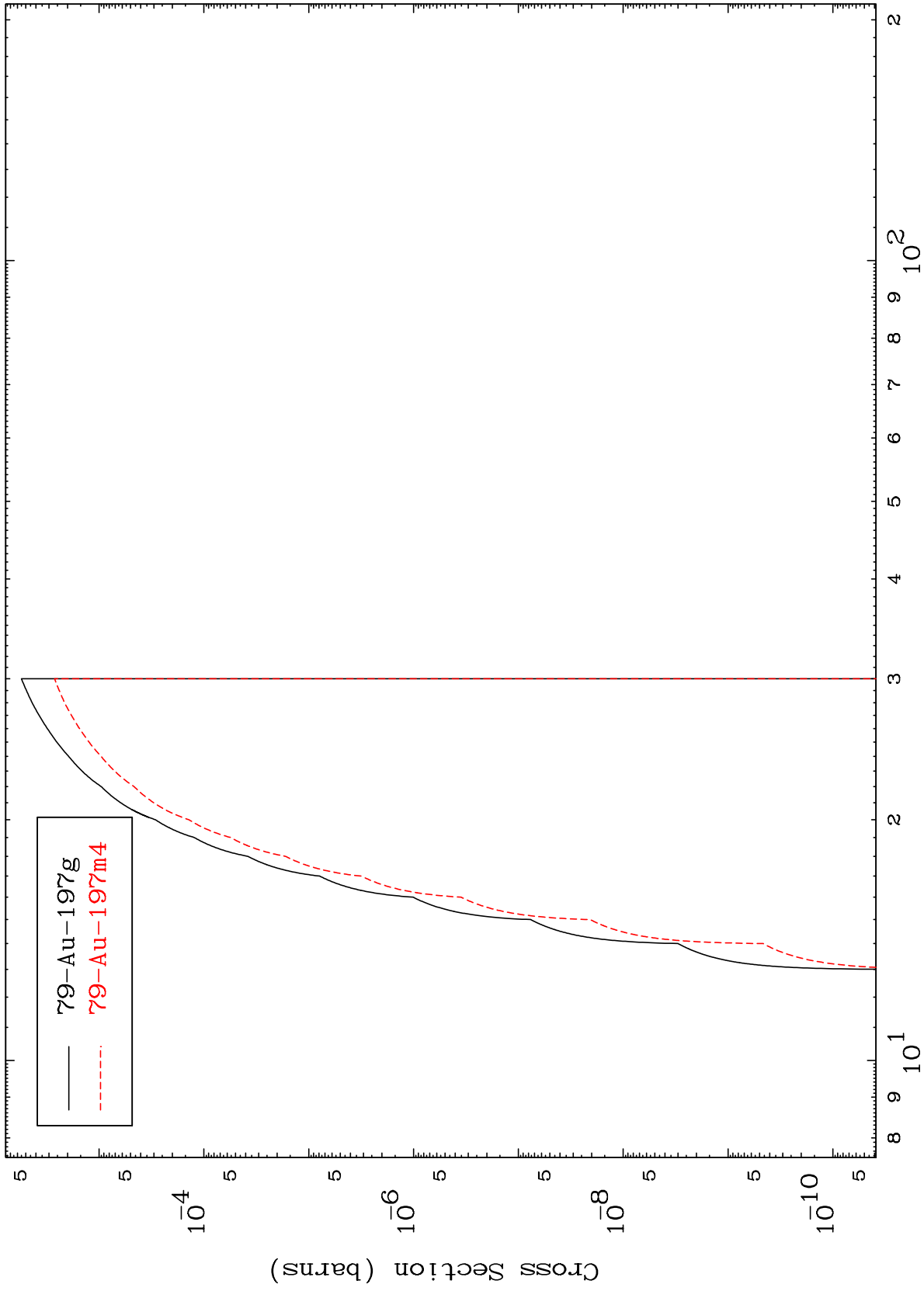
79-Au-199

MAT 7931

(d,n') t

<sup>79</sup>Au-199

Radionuclide Production Cross Section



17

Incident Energy (MeV)

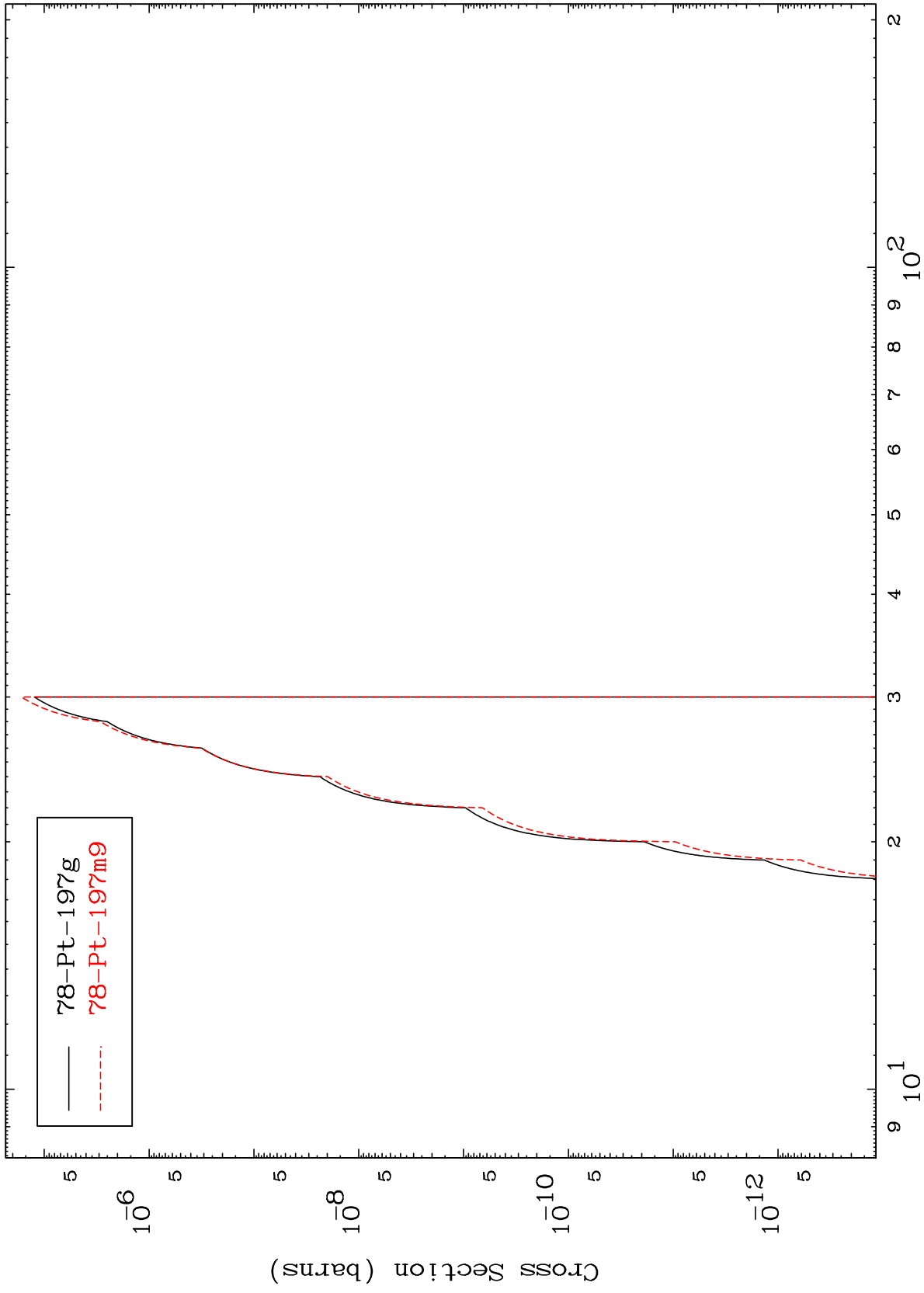
<sup>79</sup>Au-199

MAT 7931

(d,n') He-3

79-Au-199

Radionuclide Production Cross Section



18

Incident Energy (MeV)

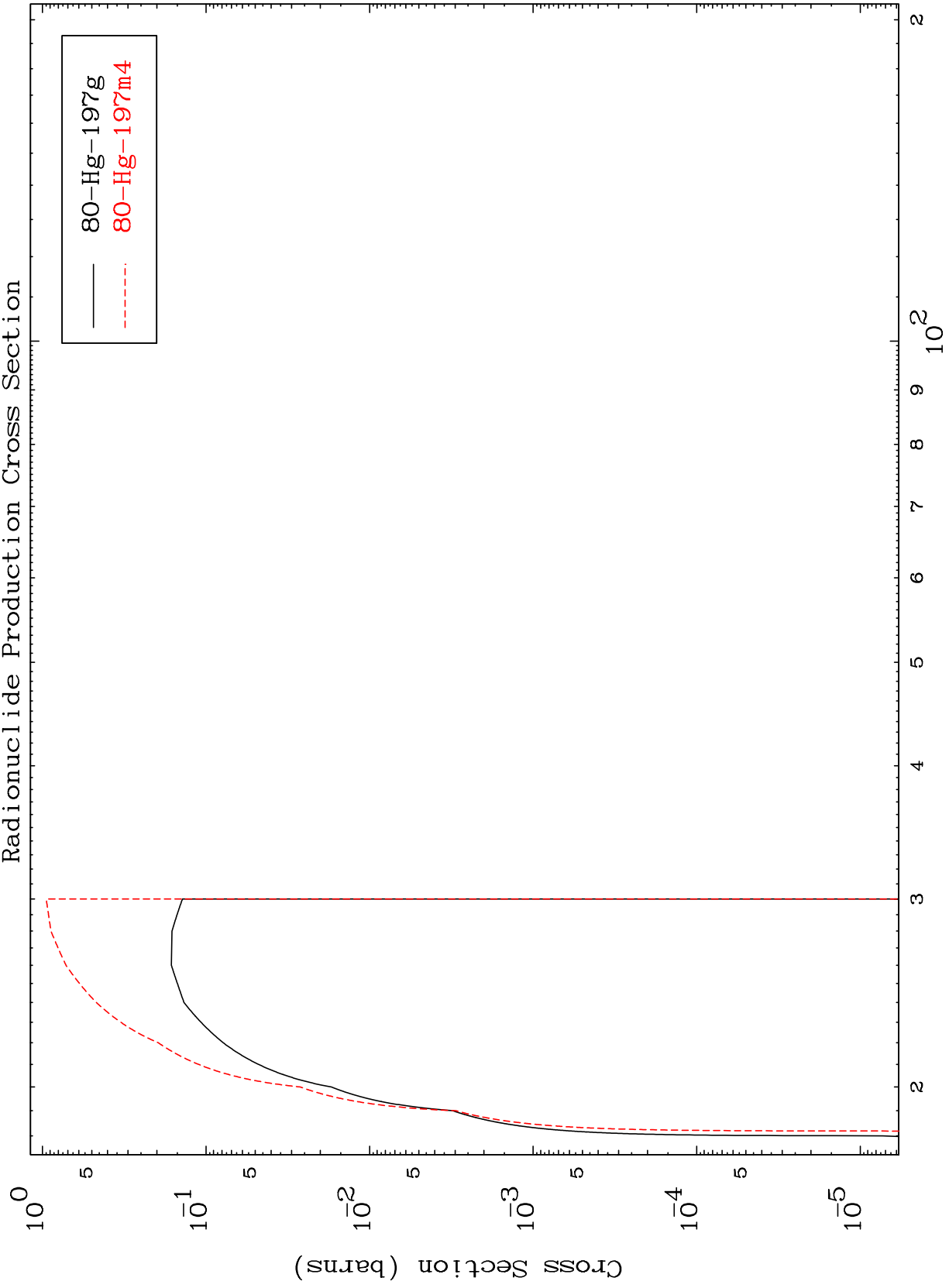
79-Au-199

MAT 7931

(d,4n)

79-Au-199

Radionuclide Production Cross Section



19

Incident Energy (MeV)

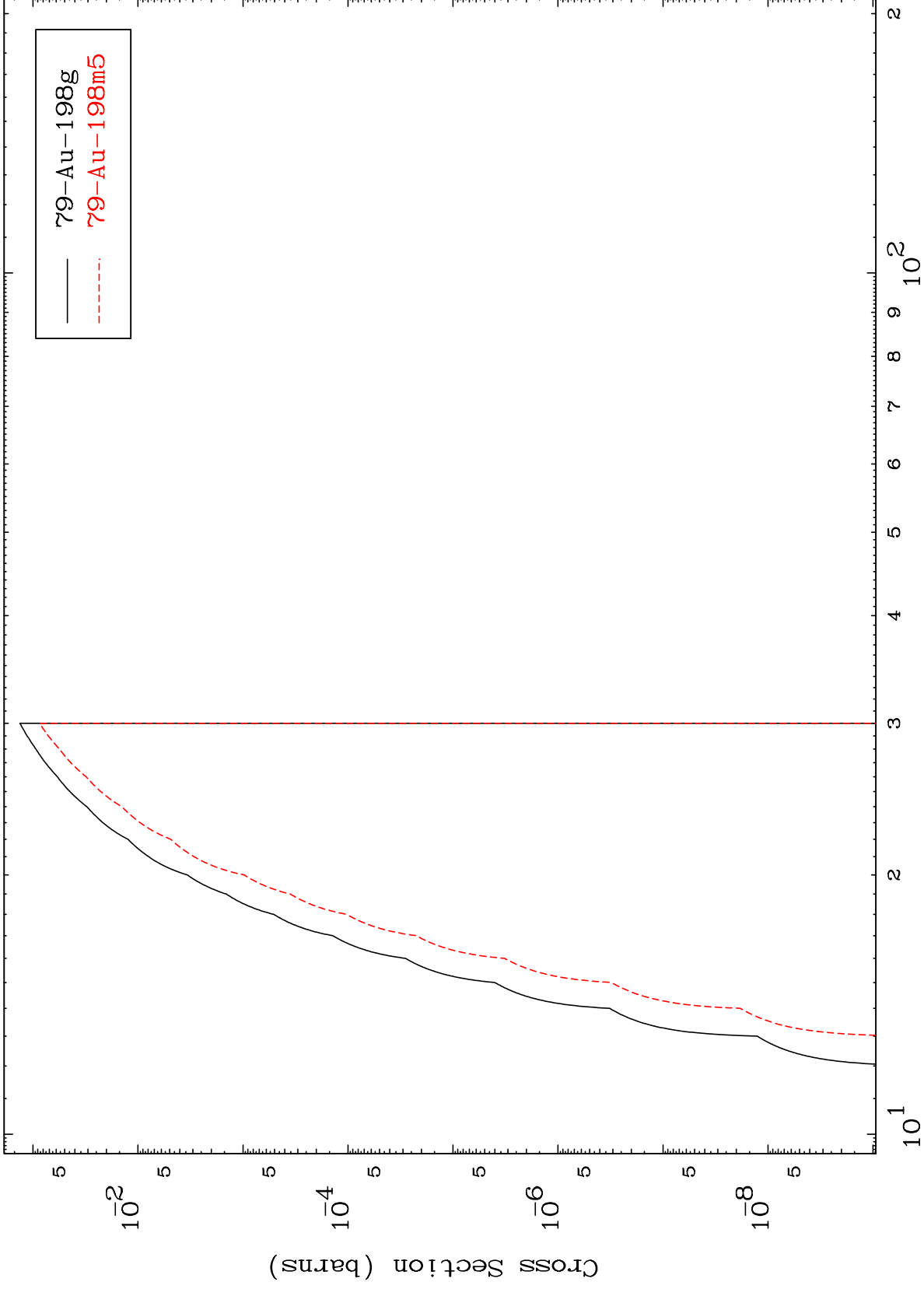
79-Au-199

MAT 7931

(d,2n) p

<sup>79</sup>Au-199

Radionuclide Production Cross Section



Incident Energy (MeV)

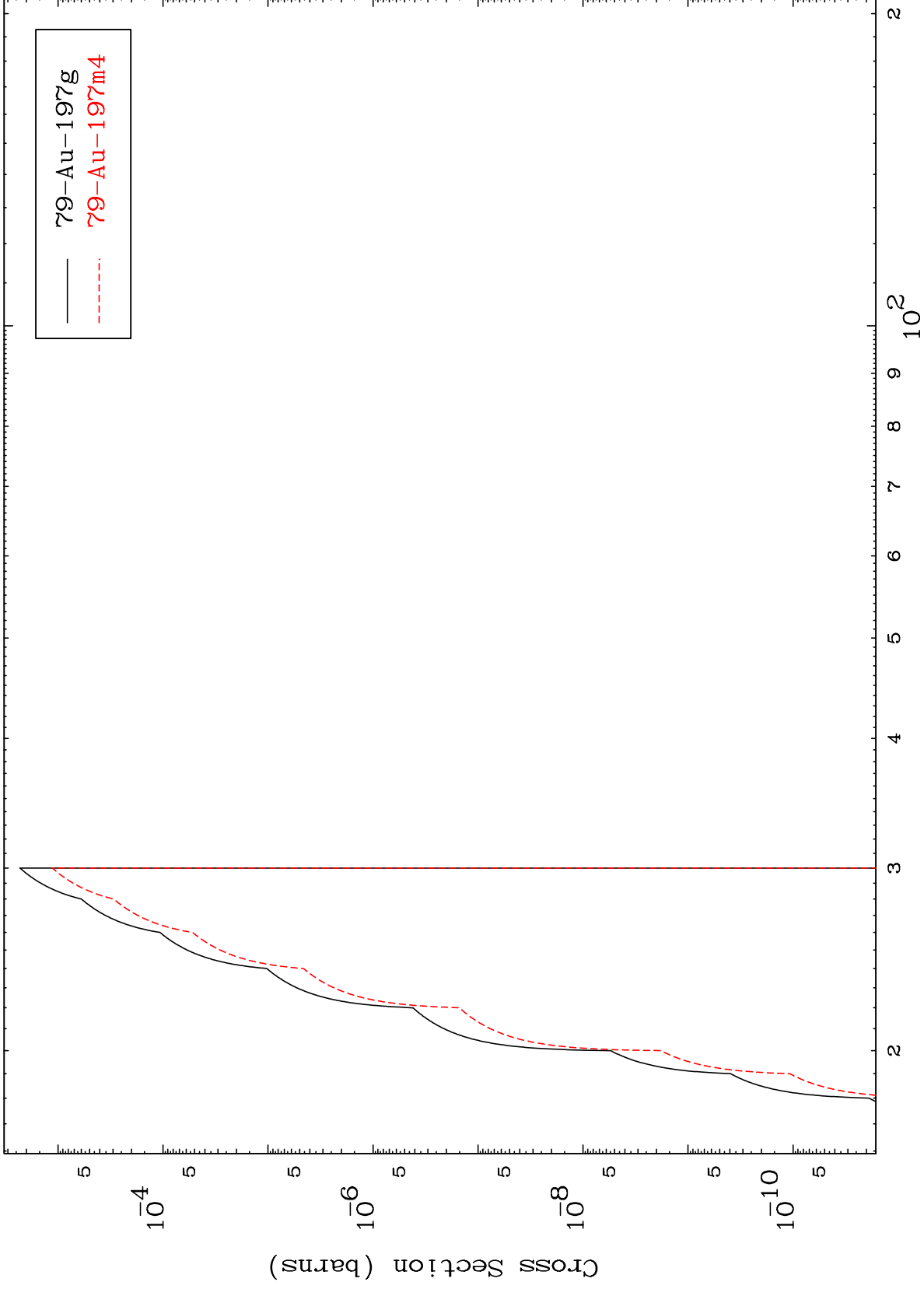
<sup>79</sup>Au-199

MAT 7931

(d,3n) p

<sup>79</sup>Au-199

Radionuclide Production Cross Section



21

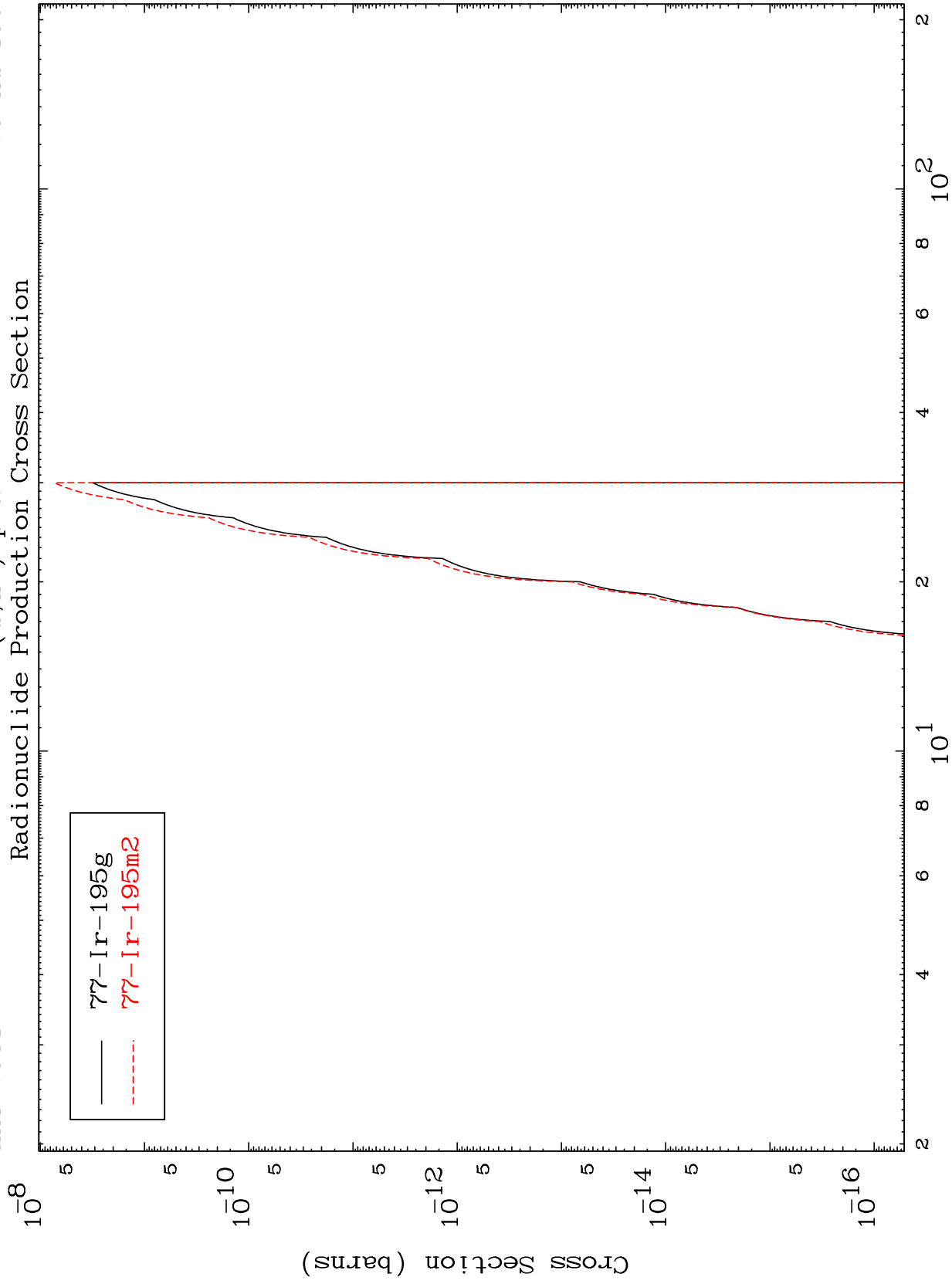
Incident Energy (MeV)

<sup>79</sup>Au-199

MAT 7931

79-Au-199

(d,n') p  $\alpha$   
Radionuclide Production Cross Section



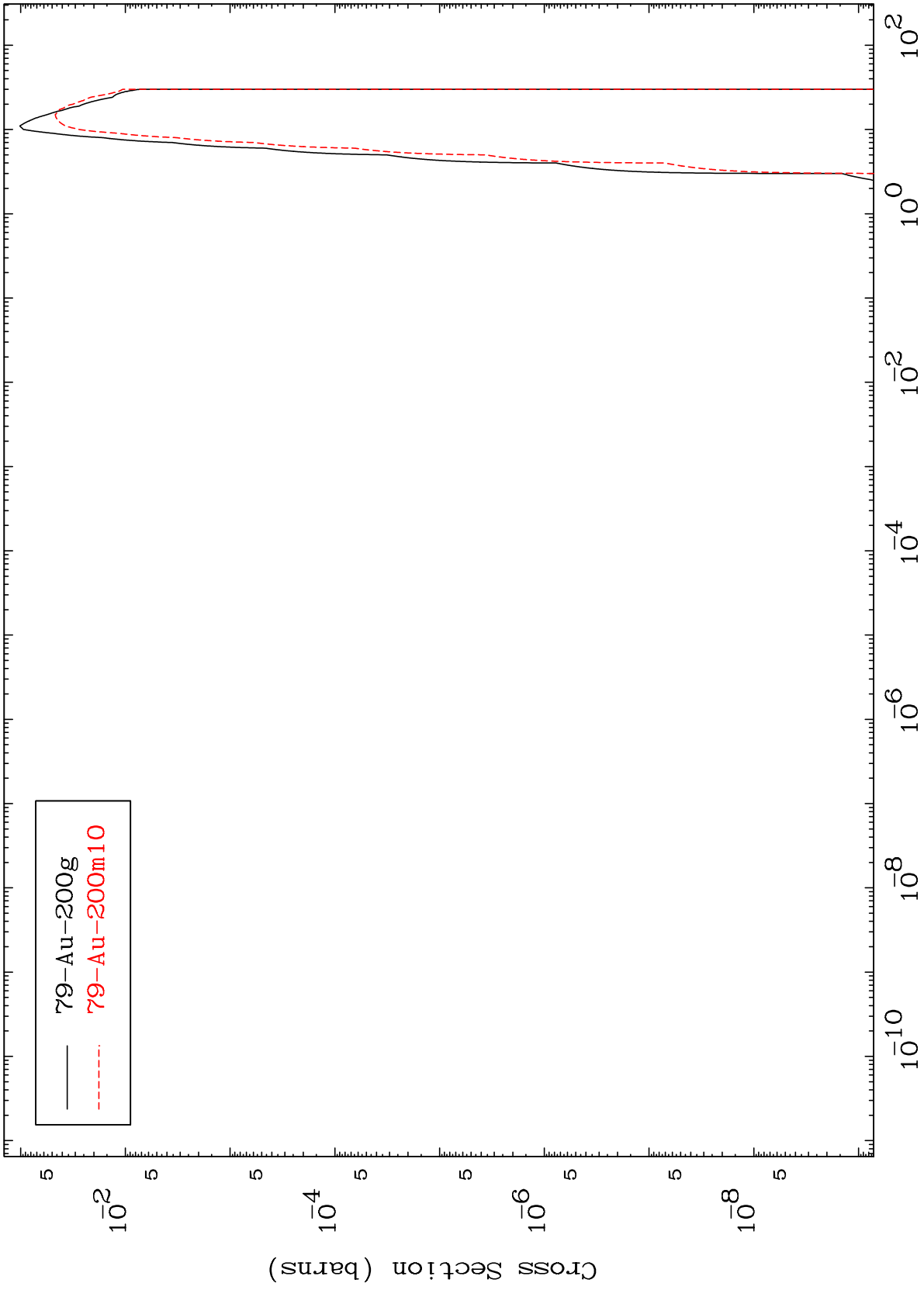
22

79-Au-199

MAT 7931

(d,p)  
Radionuclide Production Cross Section

<sup>79</sup>Au-199



— 79-Au-200g  
- - - 79-Au-200m10

23

Incident Energy (MeV)

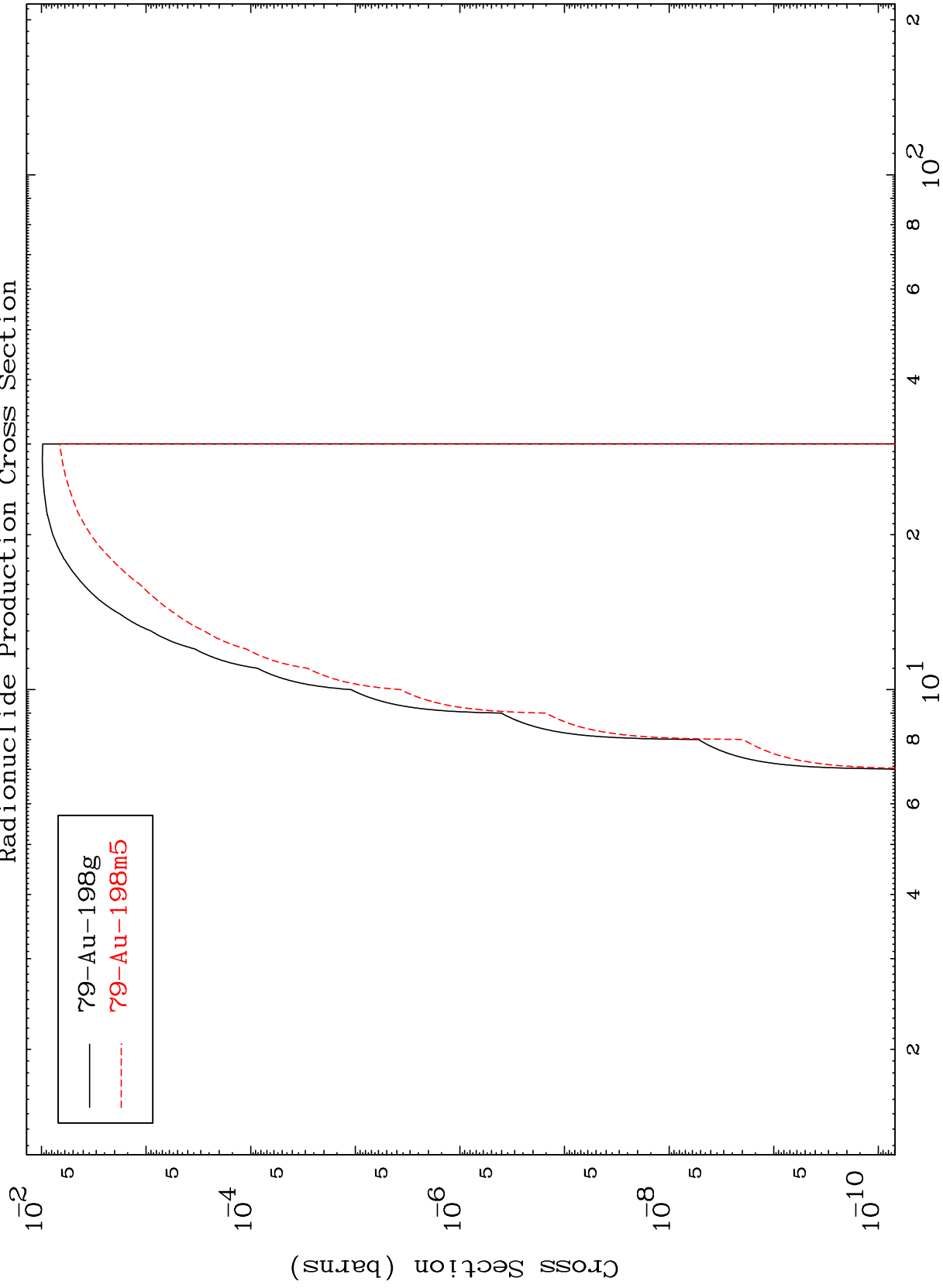
<sup>79</sup>Au-199



MAT 7931

(d, t)  
Radionuclide Production Cross Section

<sup>79</sup>Au-199



24

Incident Energy (MeV)

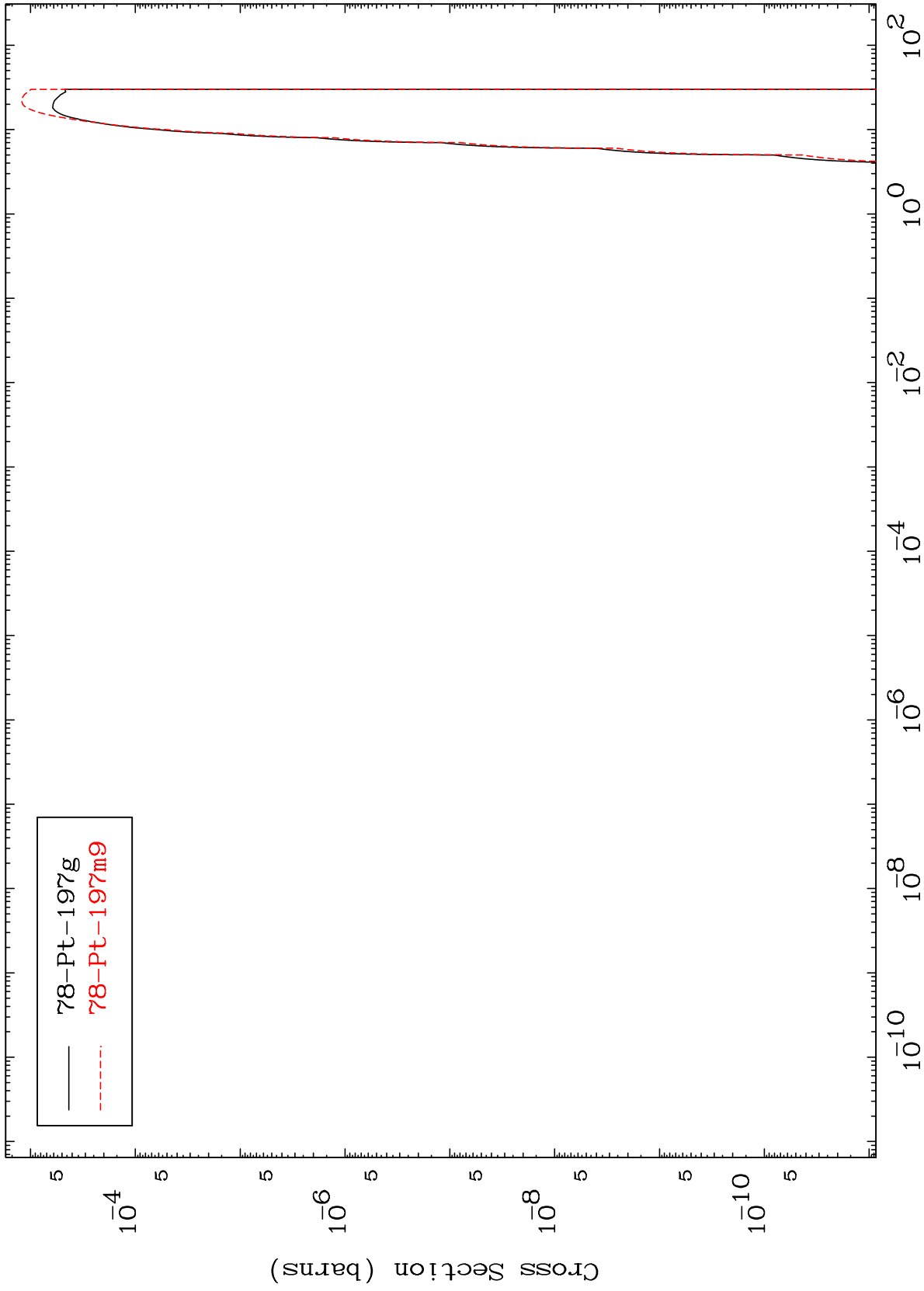
<sup>79</sup>Au-199

MAT 7931

(d,  $\alpha$ )

<sup>79</sup>Au-199

Radionuclide Production Cross Section

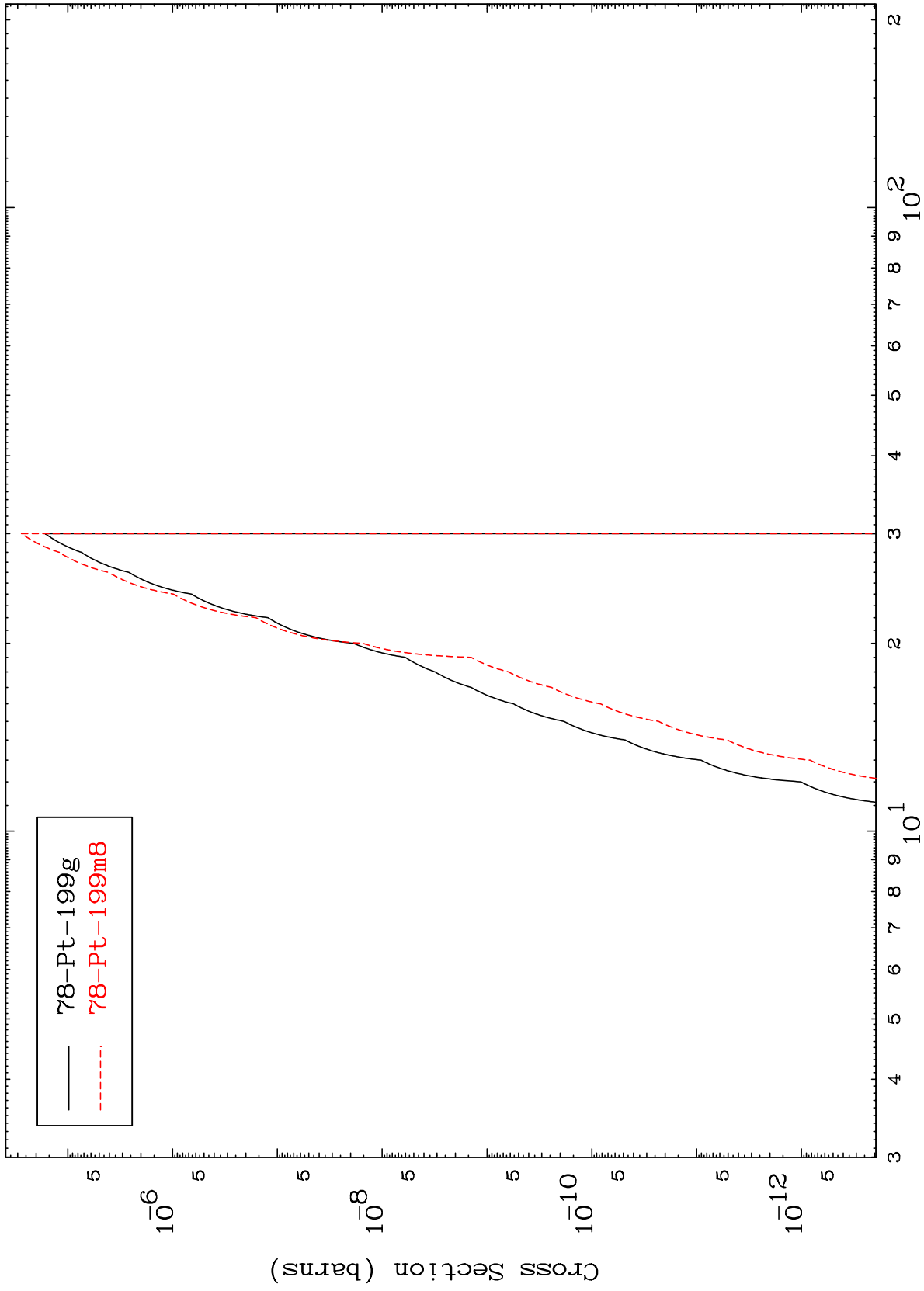


— 78-Pt-197g  
- - - 78-Pt-197m9

MAT 7931

79-Au-199

(d,2p)  
Radionuclide Production Cross Section



26

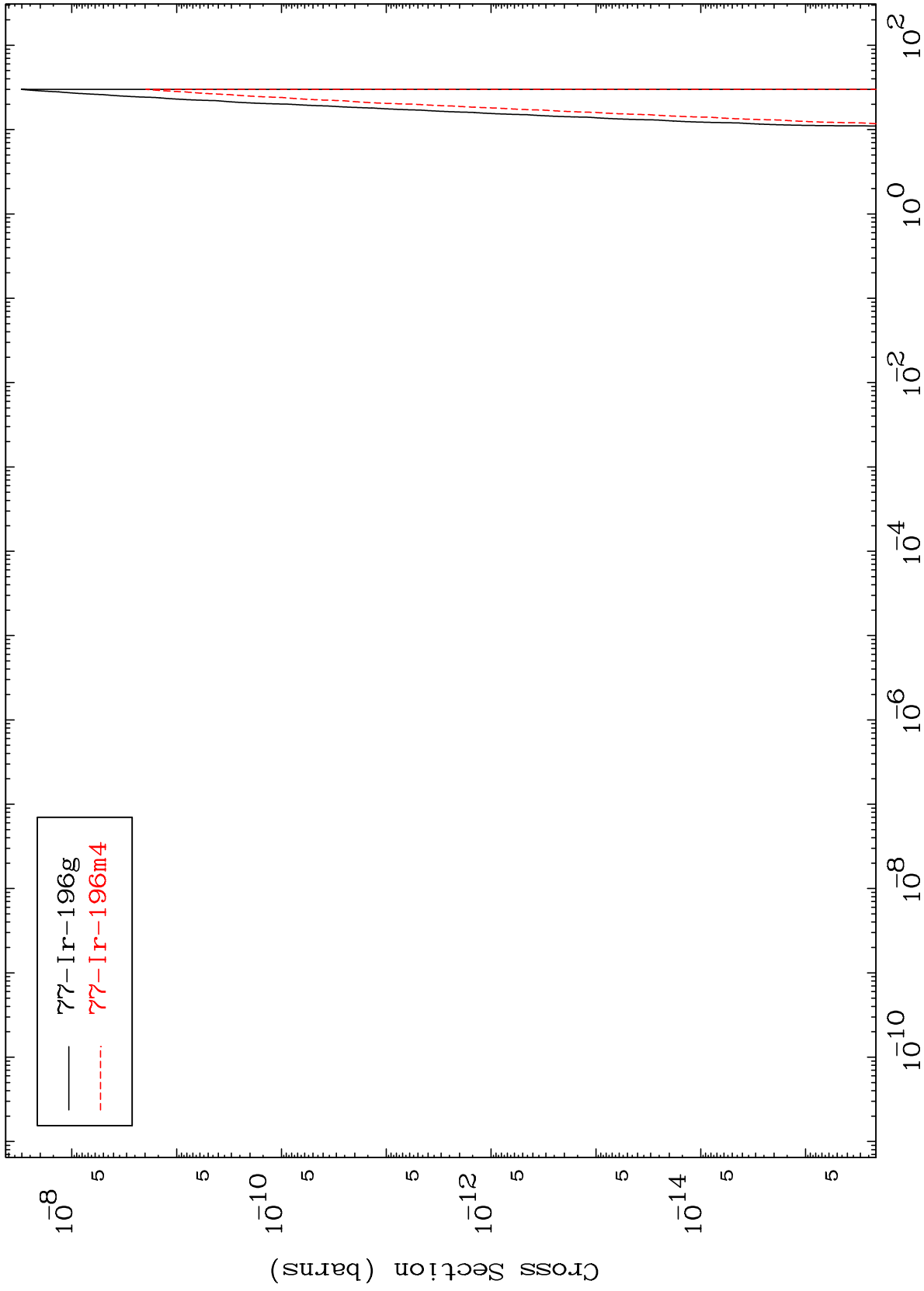
79-Au-199

MAT 7931

(d,p)  $\alpha$

<sup>79</sup>Au-199

Radionuclide Production Cross Section



27

Incident Energy (MeV)

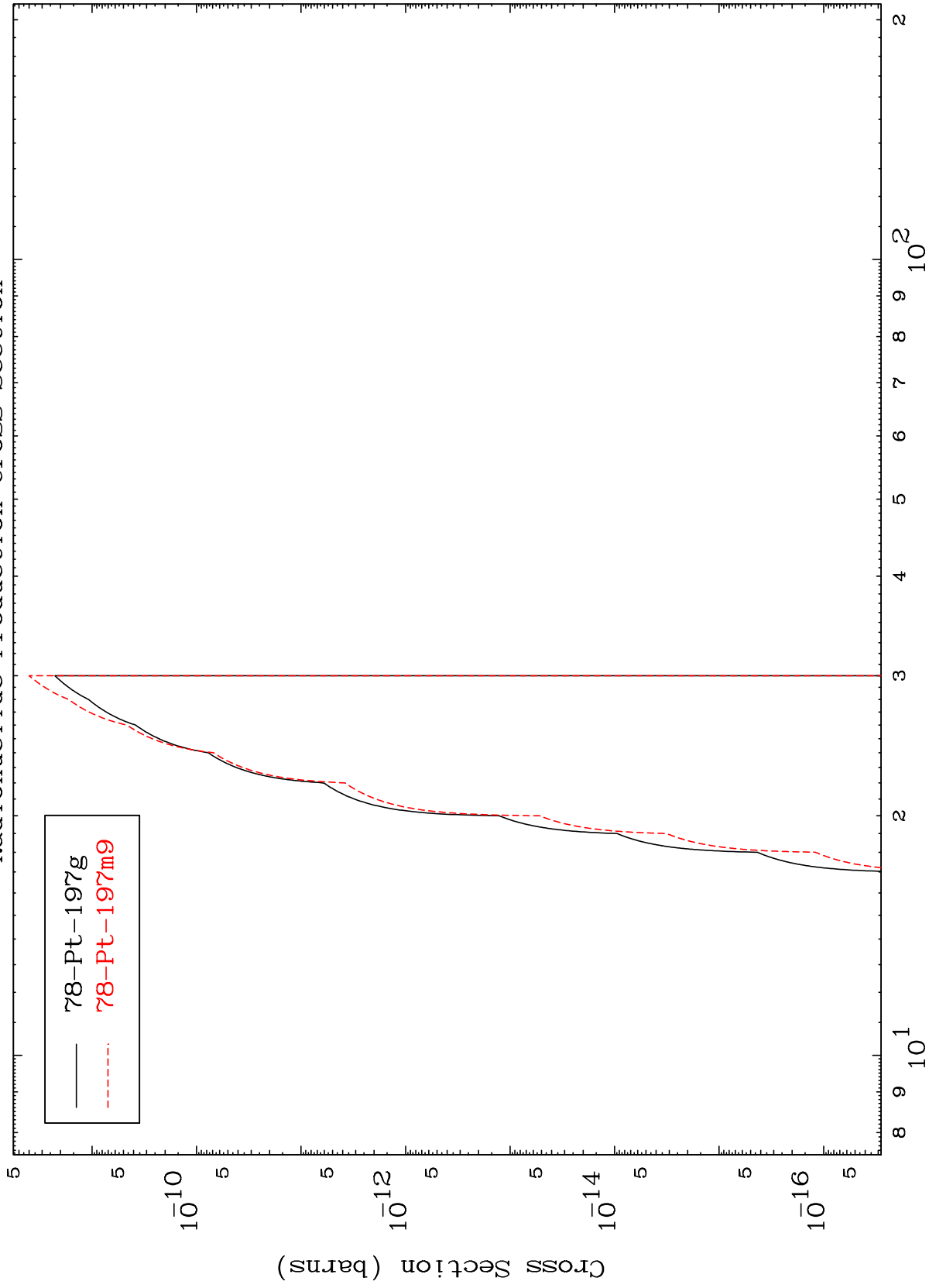
<sup>79</sup>Au-199

MAT 7931

(d,p) t

<sup>79</sup>Au-199

Radionuclide Production Cross Section



28

Incident Energy (MeV)

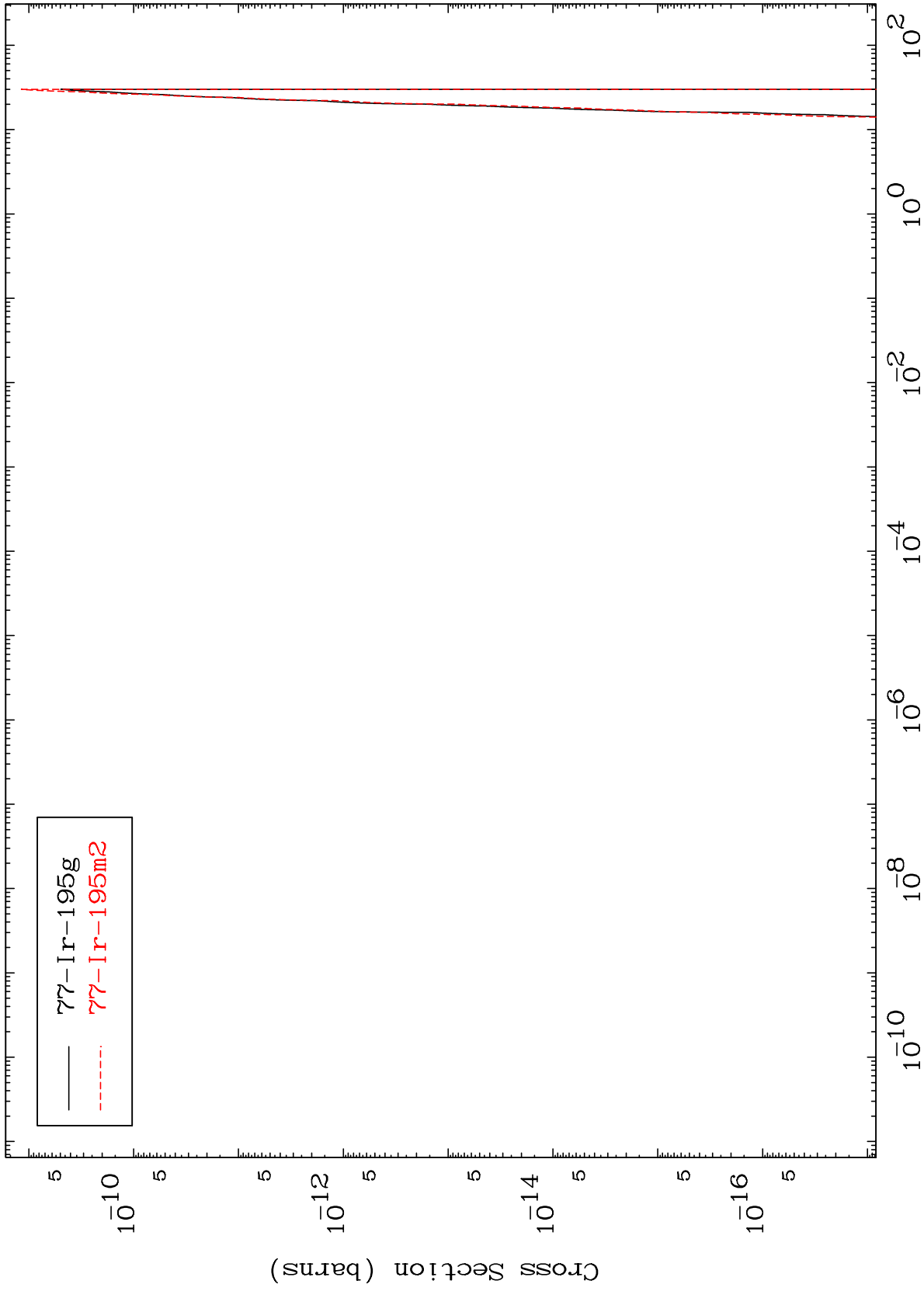
<sup>79</sup>Au-199

MAT 7931

(d,d)  $\alpha$

79-Au-199

Radionuclide Production Cross Section



29

Incident Energy (MeV)

79-Au-199